

**ҚАРШИ ДАВЛАТ УНИВЕРСИТЕТИ ҲУЗУРИДАГИ ИЛМИЙ
ДАРАЖАЛАР БЕРУВЧИ PhD.03/31.03.2021.FM.70.06 РАҚАМЛИ
ИЛМИЙ КЕНГАШ**

ҚАРШИ ДАВЛАТ УНИВЕРСИТЕТИ

МУСТАФОЕВА НОДИРА МОЙЛИЕВНА

**ИОН ИМПЛАНТАЦИЯ ВА ЮҚОРИ ВАКУУМЛИ ЎТҚАЗИШ
УСУЛЛАРИ БИЛАН ОЛИНГАН СИЛИЦИД
НАНОПЛЁНКАЛАРНИНГ СТРУКТУРАСИ ВА ЭЛЕКТРОН
ХУСУСИЯТЛАРИ**

01.04.04 – Физик электроника

**Физика-математика фанлари бўйича фалсафа доктори (PhD) диссертацияси
АВТОРЕФЕРАТИ**

Қарши – 2022

**Физика-математика фанлари бўйича фалсафа доктори (PhD)
диссертацияси авторефератининг мундарижаси**

**Оглавление автореферата диссертации доктора философии (PhD)
по физико-математическим наукам**

**Contents of dissertation abstract of doctoral philosophy (PhD) on physical-
mathematical sciences**

Мустафоева Нодира Мойлиевна

Ион имплантация ва юқори вакуумли ўтқазил усуллари билан олинган
силицид наноплёнкаларнинг структураси ва электрон хусусиятлари 3

Мустафоева Нодира Мойлиевна

Структура и электронные свойства нанопленок силицидов полученные
методами высоковакуумного осаждения и ионной имплантация 23

Mustafoeva Nodira

Structure and electronic properties of silicide nanofilms obtained by high
vacuum deposition and ion implantation 42

Эълон қилинган ишлар рўйхати

Список опубликованных работ
List of published works 46

**ҚАРШИ ДАВЛАТ УНИВЕРСИТЕТИ ХУЗУРИДАГИ ИЛМИЙ
ДАРАЖАЛАР БЕРУВЧИ PhD.03/31.03.2021.FM.70.06 РАҚАМЛИ
ИЛМИЙ КЕНГАШ**

ҚАРШИ ДАВЛАТ УНИВЕРСИТЕТИ

МУСТАФОЕВА НОДИРА МОЙЛИЕВНА

**ИОН ИМПЛАНТАЦИЯ ВА ЮҚОРИ ВАКУУМЛИ ЎТҚАЗИШ
УСУЛЛАРИ БИЛАН ОЛИНГАН СИЛИЦИД
НАНОПЛЁНКАЛАРНИНГ СТРУКТУРАСИ ВА ЭЛЕКТРОН
ХУСУСИЯТЛАРИ**

01.04.04 – Физик электроника

**Физика-математика фанлари бўйича фалсафа доктори (PhD) диссертацияси
АВТОРЕФЕРАТИ**

Қарши – 2022

Фалсафа доктори (PhD) диссертацияси мавзуси Ўзбекистон Республикаси Вазирлар Маҳкамаси ҳузуридаги Олий аттестация комиссиясида В2020.2.PhD/FM506 рақам билан рўйхатга олинган.

Диссертация Қарши давлат университети ва Тошкент давлат Техника университетида бажарилган.

Диссертация автореферати уч тилда (ўзбек, рус, инглиз (резюме)) Илмий кенгаш веб-саҳифасида (www.qarshidu.uz) ҳамда «ZiyoNet» Ахборот-таълим порталида (www.ziyounet.uz) жойлаштирилган.

Илмий раҳбар:

Ташатов Алланазар Каршиевич
физика-математика фанлари доктори, профессор

Расмий оппонентлар:

Тураев Эргаш Юлдошевич
физика-математика фанлари доктори, профессор

Бекпулатов Илхом Рустам ўғли
физика-математика фанлари бўйича фалсафа доктори (PhD), доцент

Етакчи ташкилот:

У.А. Арифов номидаги Ион-плазма ва лазер технологиялари институти

Диссертация ҳимояси Қарши давлат университети ҳузуридаги илмий даражалар берувчи PhD.03/31.03.2021.FM.70.06 рақамли илмий кенгашнинг 2022 йил «___» _____ соат _____ даги мажлисида бўлиб ўтади (Манзил: 180119, Қарши шаҳри, Кўчабоғ кўчаси, 17-уй. Тел./факс: (99875) 225-34-13, email: kardu@mail.ru.)

Диссертация билан Қарши давлат университетининг Ахборот-ресурс марказида танишиш мумкин (___ рақами билан рўйхатга олинган). Манзил: 180119, Қарши шаҳри, Кўчабоғ кўчаси, 17-уй. Тел./факс: (99875) 225-34-13.

Диссертация автореферати 2022 йил “___” _____ куни тарқатилди.
(2022 йил “___” _____ даги №___ рақамли реестр баённомаси).

Нормурадов М.Т.

Илмий даражалар берувчи илмий кенгаш раиси, ф.-м.ф.д., профессор

Аллаярова Г.Х.

Илмий даражалар берувчи илмий кенгаш илмий котиби, ф.-м.ф.д. (PhD)

Донаев С.Б.

Илмий даражалар берувчи илмий кенгаш қошидаги илмий семинар раиси ўринбосари, DSc, доцент



КИРИШ (фалсафа доктори (PhD) диссертацияси аннотацияси)

Диссертация мавзусининг долзарблиги ва зарурати. Ҳозирги вақтда дунёда инсонларнинг технологияларга бўлган талаблари ортиб бориши билан Si юзасида ҳосил қилинган MeSi_2/Si типдаги наноплёнкаларнинг гетероструктуралари, улар ёрдамида ўта юқори частотали транзисторлар ва интеграл схемалар, нурланиш детекторлари, оптоэлектрон қурилмалар, юпқа омик контактлар ва барьерли (тўсиқли) МДП, ПДП-структуралар яратиш физик электроника соҳасида истиқболли натижаларга эришишда янги имкониятлар яратади. MeSi_2/Si типдаги гетероструктураларнинг электрон тузилиши ва мос равишда уларнинг оптик ва электрик хусусиятлари нанообъектларнинг ўлчамлари ва таркибига боғлиқлигини ўрганиш жадал тарзда ривожланиб бормоқда. Инсоният фойдаланадиган қурилмаларининг ҳажми кичикроқ имкониятлари янада кўпроқ бўлишини хоҳлайди. MeSi_2/Si типдаги гетероструктураларнинг электрон структуралари ва мос равишда уларнинг оптик ва электрик хусусиятлари нанообъектларнинг ўлчамлари ва таркибига боғлиқлигини ўрганиш кўплаб соҳаларда иқтисодиёт, тиббиёт, экология, авиация ва радиоэлектроника соҳаларида янги имкониятлар эшигини очиб берганлиги сабабли жаҳонда муҳим ҳисобланади.

Жаҳонда нанотехнологиянинг асосий ютуқларидан кенг фойдаланилаётганлигига қарамасдан, бу ишлар ҳали бошланғич босқичда турибди. Шу сабабли дунёнинг илғор давлатларида нанотехнология соҳасидаги тадқиқотларга катта эътибор қаратилмоқда. Хусусан, Si юза ва юзаости қатламларида наноўлчамли MeSi_2 структураларининг ҳосил бўлиш механизмларини аниқлаш ва уларни олиш, шунингдек, уларнинг таркиби, тузилиши ва физик хусусиятларини аниқлашга катта эътибор қаратилмоқда.

Республикамизда янги электрон қурилмалар, қуёш элементларини, жумладан, интеграл микросхемалар яратишга катта эътибор қаратилмоқда. Кремний монокристаллининг электрон структураси ва оптик хусусиятларига юза тартибланишмаганлигининг таъсири, Si (111) монокристаллини қаттиқ фазали Ni билан қоплаш ва кейинги қиздириш жараёнида наноўлчамли NiSi_2 плёнкалари шаклланиши, NiSi_2/Si (111) плёнкаларининг қаттиқ фазали эпитакцияси жараёнларида юза тузилиши, электрон ва кристалл ҳолатлари, оптик ва электрофизик хусусиятларини аниқлаш қонуниятлари, Si (111) нинг юза ва юза ости қатламларида кичик энергияли ион имплантацияси жараёнида NiSi_2 плёнкалари ҳамда нанокристалл фазалар шаклланиш механизмларини олиш, NiSi_2 системасининг структураси ва зона-энергетик параметрларини аниқлаш муҳим илмий-амалий аҳамият касб этади.

Ўзбекистон Республикаси Президентининг 2017 йил 7 февралдаги ПФ-4947-сон «Ўзбекистон Республикасини янада ривожлантириш бўйича ҳаракатлар стратегияси тўғрисида»ги Фармони, 2017 йил 13 февралдаги ПҚ-2772-сон «2017-2021 йилларда электротехника саноатини бошқаришни янада такомиллаштириш, жадал ривожлантириш ва диверсификация қилиш чоратадбирлари тўғрисида»ги ва 2017 йил 17 февралдаги ПҚ-2789-сон «Фанлар академияси фаолияти, илмий тадқиқот ишларини ташкил этиш, бошқариш ва

молиялаштиришни янада такомиллаштириш чора-тадбирлари тўғрисида» ги, 2019 йил 22 августдаги ПҚ-4422-сон “Иқтисодий ва ижтимоий соҳаларнинг энергия самарадорлигини ошириш, энергия тежайдиган технологияларни жорий этиш ва қайта тикланадиган энергия манбаларини ривожлантириш бўйича тезкор чора-тадбирлар тўғрисида”ги қарорлари ҳамда мазкур фаолиятга тегишли бошқа меъёрий-ҳуқуқий ҳужжатларда белгиланган вазифаларни амалга оширишга ушбу диссертация иши муайян даражада хизмат қилади.

Тадқиқотнинг республика фан ва технологиялари ривожланиши устувор йўналишларига мослиги. Мазкур тадқиқот Ўзбекистон Республикасининг фан ва технологиялари ривожланиши: II. “Физика, астрономия, энергетика ва машинасозлик” ва III. “Энергетика, энергоресурс тежамкорлиги, транспорт, машина ва асбобсозлик, замонавий электроника, микроэлектроника, фотоника ва электрон асбобсозлиги ривожланиши” устувор йўналишларига мувофиқ бажарилган.

Муаммонинг ўрганилганлик даражаси. Сўнги йилларда силицид плёнкалари, хусусан, CoSi_2 ни олиш, уларнинг таркиби, структуралари ва хусусиятларини ўрганиш масалаларига жуда кўп ишлар бағишланган. Ушбу системаларда силицид плёнкаларининг қалинлиги 30–50 nm дан кичик эмас. Плёнкалар қалинликларини камайтириш 100 GHz дан ортиқ, чегаравий частоталарда ишлайдиган интеграл схемалар ва юқори частотали транзисторларни яратишда янги имкониятлар очиб беради. Ярим ўтказгичлар юзада $d < 5\text{--}10$ nm қалинликдаги нанокристаллар ва наноплёнкаларни олишнинг истиқболли методларидан бири кичик энергияли ион имплантацияси ҳисобланади.

Migas D.B. ва бошқалар ҳисоблаш йўли билан FLAPW-GGA тўла потенциал методида BaSi_2 нинг зонавий структурасини олишди. Ajmal Khan, Yoji Imai ва бошқалар назарий тадқиқотлар орқали В, С, N ва F лардан легирловчи қўшимчалар сифатида фойдаланиш энергетик жиҳатдан афзалроқ эканлигини кўрсатиб беришди. Сўнги йилларда Si юзада яратилган BaSi_2 наноструктураларига бўлган қизиқиш фотоэлектрон ўзгартиргичлар учун истиқболли материал сифатида ишлатилиш мумкинлиги сабабли кескин ортди. Хусусан, В.Л.Дубов ва Д.В.Фоминлар ўзларининг таҳлилий мақолаларида $p\text{-BaSi}_2/n\text{-Si}$ асосидаги юпқа плёнкали ФЭЎ ларнинг етарлича юқори ФИК га $\sim 9\text{--}10$ % эга эканлигини кўрсатиб беришди.

CoSi_2/Si типидagi наноплёнкали системаларни олиш ва уларнинг оптик, электр ва магнит хусусиятларини ўрганиш бўйича W.S.Cho, M.B.Гомонова ва U.Starke лар шогирдлари билан биргаликда фаол иш олиб боришмоқда. Улар томонидан CoSi_2/Si субмоноқатламли плёнкаларининг шаклланиши механизмлари ва асосий қонуниятлари аниқланди. Institute of Semiconductor Electronics (Германия) институтининг ходимлари Facsko S. Ва бошқалар 420 эВ энергияли Ar^+ ионлари билан бомбардимон қилиш жараёнида GaSb (100) юзада 35 нм диаметрли квант нуқталардан гексогонал кристалл структураларни олишди.

GaAlAs/GaAs гетероструктураларда квант-ўлчам эффектларининг намоён бўлишини биринчи марта Р.Дингл ва В.Вигманлар кузатишди. Сўнгра Х.В.Ченг оптоэлектрониканинг махсус қурилмалари ва қаттиқ жисмли лазерларда қўлланиладиган GaAs асосидаги даврий гетероструктураларни олди. Ж.И.Алферов томонидан GaP асосида худди шунга ўхшаш кўп қатламли системалар яратилди.

Проф. М.Т.Нормуродов, Б.Е.Умирзаковлар шогирдлари билан биргаликда киздириш усули билан ион имплантация методини кўшиб биринчи марта $\text{CoSi}_2/\text{Si}/\text{CoSi}_2/\text{Si}$, $\text{CdBaTe}/\text{CdTe}/\text{CdBaTe}/\text{CdTe}$ типигаги кўп қатламли системани олишти ва уларнинг электрон ва кристалл структураларини, эмиссион ва оптик хусусиятларини ўрганишди. Шунингдек улар томонидан берилган физик хусусиятларга эга бўлган наноструктуралар шаклланиши механизмлари аниқланди. Лекин, ҳозирги вақтга қадар Si нинг юза ва юзаости қатламларида NiSi_2 нинг наноўлчамли фазалари ва қатламларини олиш имконияти тўғрисидаги ишончли маълумотлар йўқ. NiSi_2/Si системаларини олиш ва уларнинг хусусиятларини ўрганишга бўлган қизиқиш яна шу билан характерлики, NiSi_2 ва Si лар кубик панжарага эга бўлиб, уларнинг панжара доимийлари амалда бир-биридан диярли фарқ қилмайди ($a_{\text{Si}} \approx 5,41 \text{ \AA}$, $a_{\text{Ni}} \approx 5,42 \text{ \AA}$) ва $\text{NiSi}_2/\text{Si}(111)$ чегарасида мос келмайдиган нуқсонлар юзага келмайди. Бундан ташқари NiSi_2 нинг солиштирма қаршилиги $\sim 50\text{-}60 \text{ мкОм}\cdot\text{см}$ ни ташкил қилади. Шу сабабли, гетероэпитакциал МДП и ПДП системаларни яратишда бу структуралар ўта истиқболли ҳисобланади.

Тадқиқотнинг диссертация бажарилган илмий-тадқиқот ишлари режалари билан боғлиқлиги. Диссертация тадқиқоти Қарши давлат университетининг илмий-тадқиқот ишлари режасининг “Микро ва наноўлчамли плёнкаларни қаттиқ жисмлар юзада ҳосил қилиш, уларнинг структураси ва хоссаларини ўрганиш” мавзуси (2017-2022) доирасида бажарилган.

Тадқиқотнинг мақсади қаттиқ фазадан қоплаш ва ион бомбардировка жараёнида Si нинг юза ва юзаости қатламларида NiSi_2 нинг наноўлчамли фазалари ва қатламлари шаклланишининг физик қонуниятларини, уларнинг таркиби, электрон ва кристалл структуралари, эмиссион ва оптик хусусиятларини очиб беришдан иборат.

Тадқиқотнинг вазифалари:

Ag^+ ионлари билан бомбардимон қилиш жараёнида кремний монокристаллининг электрон структураси ва оптик хусусиятларига юза тартиблашмаганлигининг таъсирини кўрсатиб бериш;

Si (111) монокристаллини қаттиқ фазали Ni билан қиздириш орқали қоплаш жараёнида наноўлчамли NiSi_2 плёнкалари шаклланиши қонуниятларини очиб бериш;

NiSi_2/Si (111) плёнкаларининг қаттиқ фазали эпитакцияси жараёнида юза морфологияси, электрон ва кристалл структуралари, оптик ва электрофизик хусусиятларини аниқлаш;

Si (111) юзада кейинги қиздириш билан кичик энергияли ($E_0 = 0.5-5$ кэВ) ион имплантацияси жараёнида $NiSi_2$ пленкалари ҳамда нанокристалл фазалар шаклланиш механизмларини аниқлаштириш ва уларни олиш. Si нинг $NiSi_2$ нанокристаллар ва нанопленкалар билан биргаликдаги морфологияси, структураси ва электрон ҳамда оптик хусусиятларини очиб бериш;

Si (111) мнокристаллининг турли чуқурликларида яширин нано ўлчамли $NiSi_2$ структуралар шаклланиши қонуниятларини ва уларнинг тақиқланган зоналар кенгликларининг нанофазалар ўлчамларига боғлиқлигини аниқлаш;

ҚФЭ усули ёрдамида Si(111) юзасида ўстирилган $NiSi_2$ плёнкасининг электрон структуралари, морфологияси ва таркибини кўрсатиб бериш;

$NiSi_2$ нинг тўртқатламли гетероструктураларини олиш методикасини такомиллаштириш, системанинг структураси ва зона-энергетик параметрларини аниқлаш.

Тадқиқотнинг объекти сифатида Si намуналари ва унинг монокристалл плёнкалари $NiSi_2$ ларнинг нанофазалари ва наноқатламлари олинган.

Тадқиқотнинг предмети кремнийнинг юза ва юзаости соҳаларида наноўлчамли металл силицидларнинг шаклланиш қонуниятлари ҳисобланади.

Тадқиқотнинг усуллари. Диссертацияда электрон оже-спектроскопияси (ЭОС), эластик сочилган электронлар спектроскопияси (ЭСЭС), характерли энергия йўқотган электронлар спектроскопияси (ХЭЙЭС), фотоэлектронлар спектроскопияси (ФЭС), кичик энергияли электронлар дифракцияси (КЭЭД) ва растрли электрон микроскопия (РЭМ). УФЭС, ОЭС, ёруғлик ютилиши спектроскопияси, АКМ таҳлил усулларидан фойдаланилган.

Тадқиқотнинг илмий янгилиги қуйидагилардан иборат:

Si монокристаллини Ar^+ ионлари билан бомбардимон қилиш жараёнида юза тартибсизланиши оптик параметрлар ўзгаришинининг асосий сабаби эканлиги аниқланган;

$NiSi_2$ пленкасини ҚФЭ усулида 180-250 Å қалинликгача ўстиришда оролчалар кўринишидаги ўсиши $h_{NiSi_2} \geq 250$ Å бўлганда эса узлуксиз плёнка шаклланиши орқали $NiSi_2/Si(111)$ плёнкаларидаги ҚФЭ нинг юза морфологияси, таркиби, электрон ва кристалл структуралари ишлаб чиқилган;

$NiSi_2/Si(111)$ плёнкаларини $T \approx 1000-1400$ К температура оралиғида қиздириш жараёнида улар морфологиясининг ўзгариш қонуниятлари, таркиби ва электрон структуралари аниқланган;

Si(111) нинг турли қалинликларида юзага келадиган $NiSi_2$ нинг яширин нанофаза ва наноқатламлари олинган ва уларнинг таркиби, тақиқланган зонаси 0,6 эВ га тенглиги, энергетик зоналарнинг параметрлари ва валент зонадаги электронлар тақсимот зичлиги ҚФЭ усулида аниқланган;

Ni ни Si га имплантация қилиш ва кейинги қиздириш йўли билан NiSi₂/Si/NiSi₂/Si(111) тўрт қатламли эпитакциал наноқатламли системанинг шаклланиш жараёни аниқланган.

Тадқиқотнинг амалий натижалари қуйидагилардан иборат:

Ni ионларини Si нинг юза ва юзаости қатламларига имплантацияси орқали силицидларнинг наноструктуралари олинган, уларнинг таркиби, ўлчамлари, кристалл ва электрон структуралари аниқланган;

электрон техникада янги асбоб-ускуналар яратишда, қуёш элементларида ёруғликни ютилиш чегарасини (0.58эВ дан бошлаб) кенгайтириш ва бу орқали ФИКни оширишда истиқболли бўлган кўп қатламли NiSi₂/Si/NiSi₂/Si(111) системалари шаклланишининг оптимал режимлари аниқланган.

Тадқиқот натижалари ишончлилиги тадқиқотлар зарур тажрибалар статистикаси, ўлчов ва маълумотларни қайта ишлашнинг бир-бирини тўлдирувчи замонавий усуллардан фойдаланиш билан, шунингдек, тоза Si намуналари бўйича бошқа муаллифларнинг олган натижаларига таққослаш билан изоҳланади.

Тадқиқот натижаларининг илмий ва амалий аҳамияти. Тадқиқот натижаларининг илмий аҳамияти Si нинг юза ва юзаости қатламларида шаклланган MeSi₂ нинг наноўлчамли структураларининг электрон структураси, оптик ва эмиссион тавсифлари бўйича олинган янги тадқиқот натижалари квант ўлчамли материалларни ўстириш ва янги кўп гетероструктураларни яратишда фундаментал база эканлиги билан изоҳланади.

Тадқиқот натижаларининг амалий аҳамияти яратилган услублар MeSi₂ нинг яширин қатламларини яратиш ва уларнинг оптик хусусиятлари, зоналар параметрларини тадқиқ қилиш, келгусида бошқа материаллар учун ҳам қўлланилиши мумкинлиги билан, олинган натижалар функционал электроника қурилмалари учун янги кўпқатламли гетероструктуралар яратишда истиқболларга эгалиги билан изоҳланади.

Тадқиқот натижаларининг жорий қилиниши. Ион имплантация ва юқори вакуумли ўтқазуш усуллари билан олинган силицид наноплёнчаларнинг структураси ва электрон хусусиятлари бўйича олинган илмий натижалар асосида:

NiSi₂/Si(111) плёнчаларини T≈1000-1400 К температура оралиғида қиздириш жараёнида улар морфологиясининг ўзгариш қонуниятлари, таркиби ва электрон структуралари кўрсатиб берилишига доир илмий хулосаларидан ОТ–ФЗ–13 «Кремний – силицид – металл эркин кўпқатламли наноплёнкали структураларнинг шаклланиш механизмлари ва уларнинг электрон ва кристалл структураларини ўрганиш» номли фундаментал лойиҳасини бажаришда фойдаланилган. (ЎзР ФА нинг 2022 йил 19 январ “2/1255-122-сон маълумотномаси). Натижада FinFET транзисторининг оксид- яримўтказгич чегарасида қамралган якка заряднинг ўтиш токига таъсирни моделлаш имконини берган;

Ni ni Si ga имплантация қилиш ва кейинги қиздириш йўли билан NiSi₂/Si/NiSi₂/Si(111) тўрт қатламли эпитакиал наноқатламли системанинг шаклланиш жараёни аниқланишига оид илмий хулосаларидан “Ўзэлтехсаноат” АК нинг “Фотон” АЖ да ишлаб чиқариладиган электрон компонентларни контактли пайвандлашда қўлланилган. (“Ўзэлтехсаноат” АКнинг 2021 йил 05 октябрдаги 362-сон маълумотномаси). Натижада киришма атомлари билан лигерланган кремний асосида ёруғликка сезгирлиги юқори бўлган датчиклар олиш имконини берган.

Тадқиқот натижаларининг апробацияси. Мазкур тадқиқот натижалари 12 та халқаро ва 5 та республика илмий-амалий анжуманларида муҳокамадан ўтказилган.

Тадқиқот натижаларининг эълон қилиниши. Диссертация мавзуси бўйича жами 22 та илмий иш чоп этилган, шулардан Ўзбекистон Республикаси Олий аттестация комиссиясининг докторлик диссертациялари асосий илмий натижаларини чоп этиш тавсия этилган илмий нашрларда 5 та мақола, жумладан, 2 та республика ва 3 таси хорижий журналларда нашр этилган.

Диссертациянинг тузилиши ва ҳажми. Диссертация иши кириш, тўртта боб, хулоса ва фойдаланилган адабиётлар рўйхати, 59 та расм, 4 та жадвалдан иборат. Диссертациянинг ҳажми 126 бетни ташкил этади.

ДИССЕРТАЦИЯ ИШИНИНГ АСОСИЙ МАЗМУНИ

Кириш қисмида диссертация мавзусининг аҳамияти ва долзарблиги асослаб берилган, тадқиқотларнинг республикадаги фан ва технологиялар ривожланишининг асосий йўналишлари билан боғлиқлиги аниқланган, диссертация мавзуси бўйича халқаро миқёсдаги илмий изланишлар, муаммонинг ўрганилганлик даражаси ҳақида умумий маълумотлар келтирилган, мақсад ва вазифалар белгиланган, тадқиқот объекти, предмети ва услублари кўрсатиб берилган, тадқиқотнинг илмий янгилиги баён қилинган, ишнинг апробацияси ва натижаларнинг татбиқ этилиши, шунингдек диссертациянинг ҳажми ва тузилиши ҳақидаги қисқача маълумотлар келтирилган.

«Кремний асосида олинган наноўлчамли структураларни олиш ва уларнинг хусусиятларини ўрганиш бўйича адабиётларда келтирилган изланишларнинг қисқача таҳлили» номли биринчи бобда кремний ва унинг асосидаги бирикмаларнинг эмиссион ва оптик хусусиятларини ўрганиш, Si нинг юза ва юзаости қатламларида наноўлчамли фазаларни олишда ион бомбардировкадан фойдаланиш, кўп қатламли плёнкаларнинг структурасини ва хусусиятларини ўрганиш мақсадида олиб борилган илмий тадқиқотларнинг янги натижалари таҳлил қилинган.

Экспериментал тадқиқот натижаларининг қисқача таҳлили шуни кўрсатадики, диссертация ишни бошлаган вақтимизгача Si нинг юза ва юзаости соҳаларида NiSi₂ наноўлчамли фазалари ва қатламлари олинмаган ва уни синтез қилишнинг оптимал шароитлари аниқланмаган, Si (111) нинг

электрон ва оптик хусусиятларига юпқа юза қатламларидаги тартиблашмаганликларнинг таъсири, NiSi_2 ларнинг наноструктуралари ҳосил бўлишининг электрон ва кристалл структуралар хусусиятларига таъсири, қаттиқ фазали эпитакция ва ион имплантациялари методларида олинган NiSi_2/Si наноплёнкаларининг юза морфологияси, эмиссион, оптик ва электрофизик хусусиятлари ўрганилмаган, Si нинг юзаости соҳасининг турли чуқурликларида яратилган NiSi_2 нанокристалларининг ман қилинган зоналари кенглиги аниқланмаган, NiSi_2 нинг нанокристаллари ва қатламларида квант-ўлчам эффектларининг намоён бўлиши тўғрисида ҳеч қандай маълумот йўқ эди.

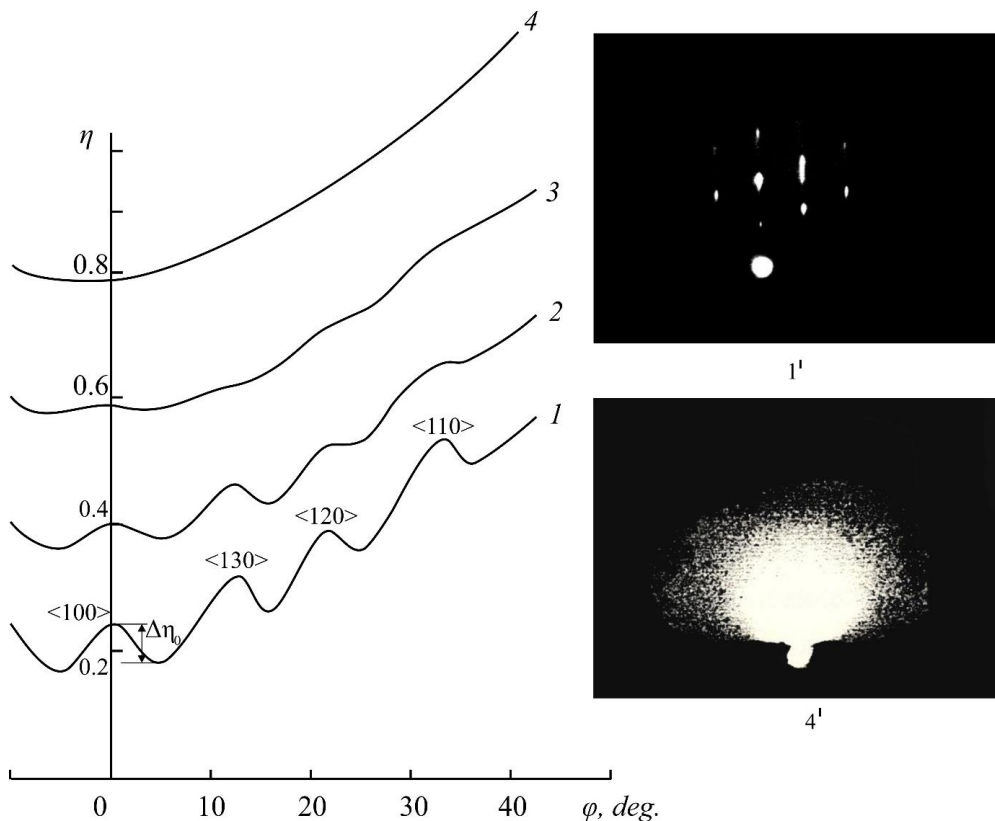
«Экспериментал тадқиқот методикаси» номли иккинчи бобда ион легирлаш ва материалларнинг юзай хусусиятларини комплекс тадқиқ қилиш имконини берувчи юқори вакуумли экспериментал қурилманинг конструкцияси ва ишлаш принциплари баён қилинган. Шунингдек бу ерда LAS-2200 стандарт экспериментал қурилманинг ҳам тавсифи келтирилган. Тадқиқотлар қуйидаги: иккиламчи электрон эмиссия (ИЭЭ) коэффиценти ва фотоэлектронлар квант чиқишининг энергетик боғланишларини ўрганиш, Оже-электрон спектроскопия (ОЭС), эластик қайтган секин электронлар эмиссияси спектроскопии (ЭКСЭЭС), электронларнинг характеристик энергия йўқотишлари спектроскопияси (ЭХЭЙС), ультрабинафша фотоэлектрон спектроскопияси (УБЭС), шунингдек растрли электрон микроскопия (РЭМ), атом-куч микроскопияси (АКМ) ва тез электронлар дифракцияси (ҚФЭ) методларидан фойдаланиб амалга оширилган.

«Қаттиқ фазали эпитакция ва ион имплантация методларида олинган NiSi_2 нано плёнкаларининг юза морфологияси, таркиби, структураси, электрон ва оптик хусусиятлари номли учинчи бобда Si (111) нинг оптик ва эмиссион хусусиятларига юпқа юзай қатламлардаги тартиблашмаганликларнинг таъсири, қаттиқ фазали эпитакция усулида олинган NiSi_2/Si плёнкаларнинг юза морфологияси, Si да қиздириш билан биргаликда Ni ионлари имплантациясини амалга ошириш орқали олинган NiSi_2/Si , наноплёнкаларининг электрон ва оптик хусусиятлари, таркиби ва энергетик зона параметрларининг легирланган қатлам чуқурлигига боғлиқлиги ва $\text{NiSi}_2/\text{Si}(111)$ юпқа плёнкаларининг морфологиясига ўстиришдан кейинги қиздириш таъсирларини тадқиқ қилиш натижалари келтирилган.

1-расмда турли дозалардаги $E_0 = 1$ кэВ энергияли Ar^+ ионлари билан бомбардимон қилинган Si (111) учун дастлабки электронларнинг $E_p = 500$ эВ ларида ўлчанган η коэффицентнинг бурчакга боғланишлари келтирилган.

$\eta(\varphi)$ боғланиш монокристаллар юзанинг тартиблашиш даражаси тўғрисида тўла маълумот беради. ОЭС натижалари ион бомбардировка жараёнида юза таркибининг ўзгармаслигидан далолат беради. Тоза $\text{Si}(111)$ нинг $\eta(\varphi)$ боғланишида φ нинг ортиши билан бир қаторда η нинг ортиши ҳамда, маълум кристаллографик йўналишларга мос ҳолдаги қатор максимумлар ҳам кузатилад экан. Энг катта максимум $\text{Si}(100)$ йўналишига

мос келиши $\varphi = 0$ да кузатилади. Биринчи максимум ва минимум орасидаги $\Delta\eta_0$ қийматлар 0.07 ни ташкил қилди. Ионлар дозасининг ортиши билан $\eta(\varphi)$ боғланишлардаги нозик структура силлиқлашади ва $D = 5 \cdot 10^{16} \text{ см}^{-2}$ да тўла йўқолади (4 эгри чизик).



1-расм $D, \text{ см}^{-2}$: 1 и 1' – $D = 0$; 2 – $D = 5 \cdot 10^{14}$; 3 – $D = 5 \cdot 10^{15}$; 4 и 4' – $D = 5 \cdot 10^{16} \text{ см}^{-2}$ дозаларда $E_0=1$ кэВ энергияли Ag^+ ионлари билан бомбардимон қилинган Si/CaF_2 (111) плёнкалари учун $E_p=500$ эВ да олинган $\eta(\varphi)$ боғланишлар (1-4 эгри чизиклар) ва плёнка юзанинг ЭТД тасвирлари келтирилган

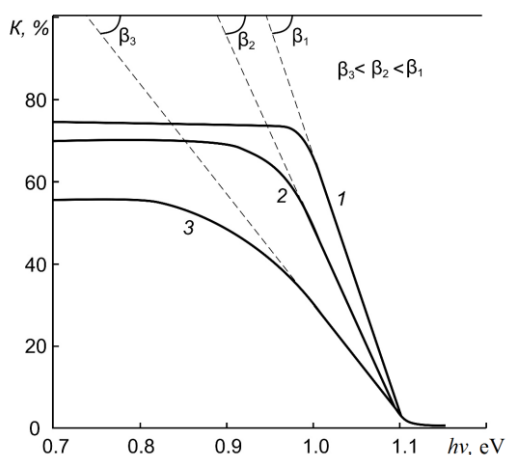
Ушбу дозаларда ЭТД да тасвир рефлекслар (1 вставка') ўрнига аморф моддалар учун характерли бўлган битта катта доғ билан алмашади (4' вставка). Дозанинг кейинги камайтирилишлари ЭТД ва $\eta(\varphi)$ боғланишларнинг сезиларли ўзгаришларига олиб келмайди.

Si (111) юзаости қатламининг тартибсизлашуви натижасида ёруғликни ўтказиш коэффиценти K барча текширилаётган фотонлар энергиялари ($h\nu = 0.4 - 1.5$ эВ) соҳасида камаяди ва бу ўз навбатида $K(h\nu)$ боғланишнинг тўғри чизикли қисми крутизнасининг камайишига олиб келади (2-расм).

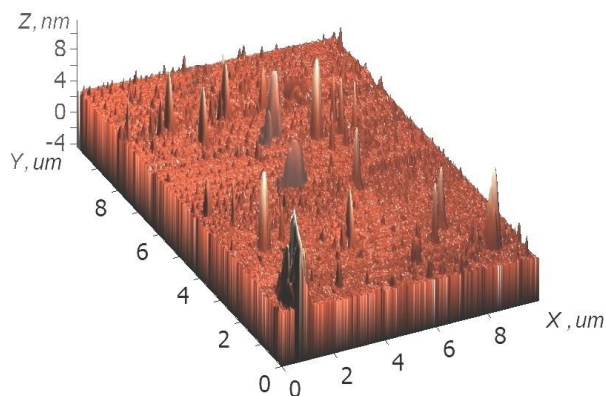
Ёруғлик ютилиши ҳолида экспоненциал қисми учун α ютилиш коэффицентининг фотонлар энергиясига боғлиқлигини экспоненциал қисми учун энергияси фотонлар CdSeS кристалли учун қуйидаги формула ёрдамида баҳолаш мумкин:

$$\alpha = \alpha_0 e^{\frac{-(E_g - h\nu)}{E_0}} \quad (1)$$

бу ерда E_0 – эгрилик четини аниқловчи ва атомлар орасидаги масофа катталиклари флуктациялари тўғрисида ахборот берувчи характеристик энергия. 3-расмдан кўринадики, $\sim 50 \text{ \AA}$ (№ 1 намуна) қалинликдаги NiSi_2 оролчалар шаклида ҳосил бўлиш характерига эга экан. Бу оролчалар конус (ёки пирамида) шаклига эга бўлиб уларнинг баландлиги 7 – 8 нм гача етади.



2-расм. $D, \text{ см}^{-2}$: 1 – 0; 2 – $5 \cdot 10^{15}$; 3 – $5 \cdot 10^{16}$ дозаларда $E_0 = 1$ кэВ энергияли Ar^+ ионлари билан бомбардимон қилинган $\text{Si}(111)$ плёнкалари учун $K(h\nu)$ боғланишлар

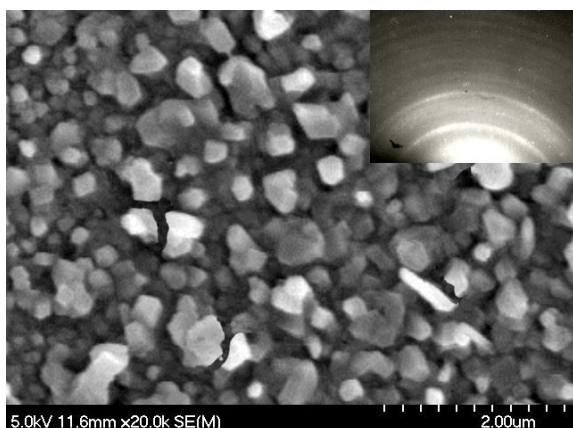


3-расм. 50 \AA қалинликдаги NiSi_2 плёнкали $\text{Si}(111)$ юзанинг АКМ да олинган тасвири

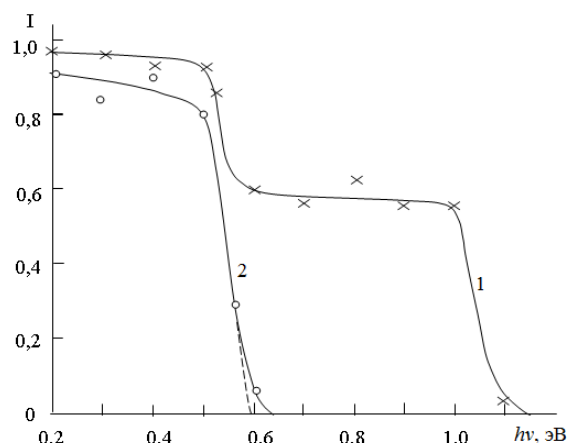
Плётка қалинлигини (қаттиқ фазали қоплаш вақти) кейинга орттиришлар асосий оролчалар баландликларининг сезиларли ортишига олиб келмади. Бу ҳолда катта ўлчамли оролчаларнинг катталашishi ва кичик ўлчамли оролчаларнинг уч ўлчамининг ортиши кузатилди. $h = 150 \text{ \AA}$ баландликга эга NiSi_2 плётка ҳолида амалда Si юзанинг 80 – 85 % NiSi_2 оролчалари билан қопланади (4-расм). Оролчаларнинг ўлчамлари 0,3 – 0,5 мкм ни ташкил қилади. Бу ҳолда ЭТД да поликристалл намуналарга хос бўлган концентрик халқалар кузатилди. $T = 800 \text{ K}$ температурада киздиргандан сўнг плётканинг кристалланиши содир бўлади, лекин алоҳида олинган кристалл фазаларнинг кристаллографик йўналишлари ўзаро мос тушмайди.

5-расмда $h = 50 \text{ \AA}$ баландликга эга NiSi_2 наноплёткали Si учун ўтган ёруғлик интенсивлиги I нинг фотонлар энергиясининг $h\nu$ га боғлиқлиги келтирилган. Баландлиги $h = 50 \text{ \AA}$ эга NiSi_2 наноплёткали Si ҳолида $h\nu$ нинг икки қийматида ўтувчи ёруғлик интенсивлигининг кескин камайishi кузатилади. $h\nu = 0,5 \text{ эВ}$ дан бошлаб I нинг камайishi NiSi_2 нанооролчалар билан қопланган участкалардаги ёруғлик ютилиши билан, $h\nu = 1 \text{ эВ}$ энергия билан I нинг камайishi – NiSi_2 нинг нанооролчалари билан беркитилмаган соҳалари билан боғлиқ. Бу эгри чизикларнинг $h\nu$ ўқиға экстраполяцияси шуни кўрсатадики, NiSi_2 учун E_g нинг қиймати $\sim 0,6 \text{ эВ}$, Si учун эса $\sim 1,1$

эВ. NiSi_2 нинг узлуксиз плёнкаси ҳолида I нинг қиймати $h\nu = 0,5 - 0,6$ эВ оралиғ дан 0 гача кескин камаяди.



4-расм. Қалинлиги 150 Å (№ 3 намуна) бўлган NiSi_2 плёнкали Si юзанинг учун РЭМ ва ЭТД даги тасвири.



5-расм. Қалинлиги $h, \text{Å}$: 1 – 50 (№ 1 намуна), 2 – 200 (№ 4 намуна) бўлган NiSi_2 плёнкали Si учун $I(h\nu)$ боғланишлари.

1- Жадвалда $\text{NiSi}_2/\text{Si}(111)$ да шакланган ҚФЭ ларнинг оптимал режимлари ва уларнинг солиштирма қаршилиқларининг қийматлари келтирилган.

1-жадвал

Намуна	$h_{\text{Ni}}, \text{Å}$	$h_{\text{NiSi}_2}^0, \text{Å}$	$T_{\text{эпит.}}, \text{К}$	Пленка тури	$\rho, \text{мкОм}\cdot\text{см}$
1	15 – 20	50	800	оролчали	$2 \cdot 10^5$
2	35 – 40	100	850	оролчали	$5 \cdot 10^2$
3	50 – 60	150	850	оролчали	–
4	80	200	900	узлуксиз, б.ж.б*	100
5	200	550	950	бир жинсли**	50

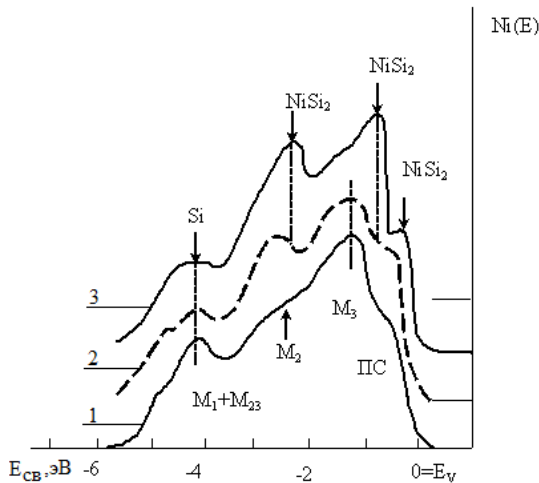
Кўришиб турибдики, оролчалар шаклидаги плёнкалар ҳолида ρ нинг қиймати жуда юкори. $h_{\text{NiSi}_2}^0 = 200 \text{Å}$ да узлуксиз плёнка шаклланади, лекин ρ нинг қиймати 550 Å қалинликдаги плёнканикидан озгина каттароқ. Бунга сабаб, қалинлик $h = 200 \text{Å}$ бўлганда плёнка ҳали мукамал шаклланишга эга бўлмайди.

6-расмда $h\nu = 10,8$ эВ энергияда олинган NiSi_2 нанокристаллари ва наноплёнкаларига эга Si ва p-типдаги Si (111) ларнинг фотоэлектрон спектрлари келтирилган. Кўришиб турибдики, қалин NiSi_2 ($h = 200 \text{Å}$) плёнкаларининг асосий чўққилари ҳолати ва шакли Si учун олинган чўққилар ҳолати ва шаклидан сезиларли даражада фарқ қилади. Бу ҳолда спектрда $E_{\text{св}} = -0,3; -0,9; -2,2$ ва $-4,2$ эВ энергияли чўққилар кузатилади..

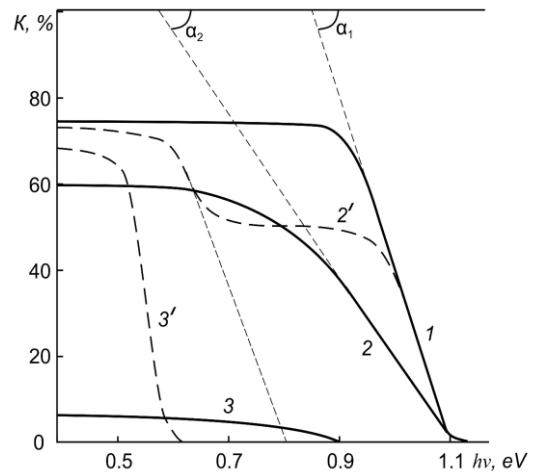
Бу спектрнинг таҳлили ва уни Si ва Ni спектрлари билан солиштириш $E_{\text{св}} = -0,3$ эВ ли чўққи кремнийнинг M_3 ҳолати ва Ni нинг M_5 ҳолати

гибридлашуви туфайли шаклланади, $E_{CB} = -0,9$ эВ – ли чўққи эса кремнийнинг M_2 ҳолати ва Ni нинг M_3 ҳолати, $E_{CB} = -2,2$ эВ – кремнийнинг M_1 ҳолати ва Ni нинг $M_{4,5}$ ҳолати гибридлашуви натижасида шаклланади. $E_{CB} = -4,2$ эВ ли чўққи эса, Si га тегишли деб фараз қилиш имконини беради. $h = 50 \text{ \AA}$ баландликга эга $NiSi_2$ плёнка оролчалар кўринишидаги характерга эга, шу сабабли унинг спектрида Si га ҳам, $NiSi_2$ га ҳам характерли бўлган чўққилар кузатилади.

7-расмда $D = 10^{15}$ ва $6 \cdot 10^{16} \text{ см}^{-2}$ дозаларда $E_0 = 1$ кэВ энергияли Ni^+ ионлари билан легирланган Si (111) учун $K(h\nu)$ боғланиш графиклари келтирилган. $D = 10^{15} \text{ см}^{-2}$ дозада Si (111) юзада $NiSi$ и $NiSi_2$ типидagi бирикмалар ва асосан Si, Ni ларнинг боғланмаган атомларидан ташкил топган алоҳида-алоҳида кластер фазалари шаклланади. Амалда бу фазалар орқали ёруғлик ўтмайди, шу сабабли K нинг қиймати 40 – 50 % ларгача кескин камаяди, яъни айтиш мумкинки бу фазалар билан юзанинг қопланиш даражаси ~ 0.4 ни ташкил қилади.



6-расм. Қалинлиги h , Å : 1 – 0, 2 – 50, 3 – 200 бўлган $NiSi_2$ плёнкали Si нинг УБЭС лари .

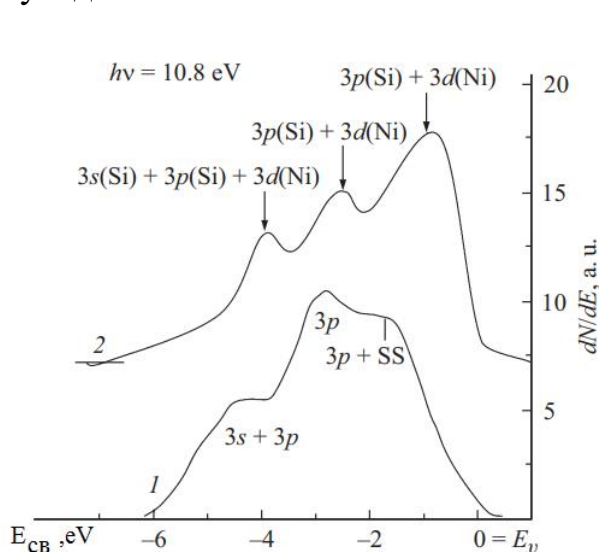


7-расм. $E_0 = 1$ кэВ энергияли Ni^+ ионлари билан имплантация қилинган Si(111) учун $K(h\nu)$ боғланиш графиклари D , см^{-2} : 1 – 0; 2 – 10^{15} ; 3 – $6 \cdot 10^{16}$ дозаларда ва кейин $T=900\text{K}$ ҳароратда қиздиргандан сўнг 2' ва 3'.

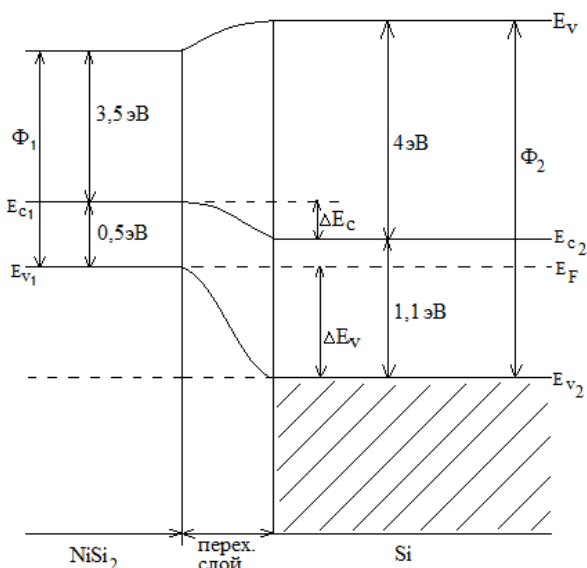
$D = D_{sat.} = 6 \cdot 10^{16} \text{ см}^{-2}$ дозаларда $h\nu \leq 0.5 - 0.6$ эВ да ўтувчи ёруғлик интенсивлиги $\sim 8 - 10 \%$ ни ташкил қилади, $h\nu \geq 0$ да эса $-3 - 5 \%$ дан ортмади. Бизнингча, $NiSi$, $NiSi_2$ типидagi бирикмалар ва Si нинг боғланмаган атомларининг маълум миқдорда мавжудлиги ($\sim 15 - 20 \text{ ат.}\%$) ёруғликнинг кичик интенсивликда ўтишига сабаб бўлади. Ni ионлари имплантацияси жараёнларида аморфизация билан бир қаторда юзаости қатламлари таркиби ўзгаради E_g нинг қиймати $0.2 - 0.3$ эВ гача камаяди, мос равишда $K(h\nu)$ боғланиш эгри чизигининг экспоненциал қисми ошади. Айнан шу

намуналарни $T = 900 \text{ K}$ температурада қиздиргандан сўнг Si нинг юза қатламларида $50 - 60 \text{ \AA}$ қалинликдаги NiSi_2 нинг эпитакциал нанокристалл фазалари ва плёнкалари шаклланади. Демак $K(h\nu)$ боғланишнинг структураси кескин ўзгаради ($2'$ ва $3'$ эгри чизиқлар). Бу чизиқларнинг $h\nu$ ўқиға экстраполяцияси шуни кўрсатадики, ушбу ҳолда NiSi_2 нанокристаллининг E_g си 0.8 эВ ни, наноплёнканики эса -0.6 эВ ни ташкил қилади. Кристаллашиш K нинг сезиларли даражада ортишиға олиб келади.

NiSi_2 плёнкаларнинг шаклланиши валент электронлар ҳолати зичликларининг сезиларли даражада ўзгаришиға олиб келади. -1.0 , -2.7 и -4.0 эВ энергияларда унда яққол ажралиб турувчи хусусиятлар намоён бўлади.



8-расм. 1 – n-типдаги Si (111);
2- $d = 3.5-4.0 \text{ nm}$ ли NiSi_2/Si (111)
наноплёнкалари учун УБЭС лар.



9-расм. $\text{NiSi}_2/\text{Si}(111)$
системасининг тахминий зона-
энергетик диаграммаси

Бу хусусиятлар бизнингча, Ni нинг $3d$ ($3d_{5/2}$ и $3d_{3/2}$) ҳолатининг Si нинг $3p$ - ва $3s$ -ҳолатлари билан гибридлашуви натижасида шаклланади. 2-жадвалда $d = 3.0$ ва 6.0 nm қалинликдаги Si ва NiSi_2/Si плёнкаларининг баъзи физик параметрлари келтирилган, бу ерда ϕ ва Φ - термо- ва фотоэлектрон чиқиш ишлари, E_g – тақиқланган зона кенглиги, χ – электронга мойиллик, σ_m – ИЭЭ коэффицентининг максимал қиймати, Y – фотоэлектронларнинг квант чиқиши, ρ – солиштирма қаршилик.

2-жадвал асосида биз NiSi_2/Si ($d_{\text{NiSi}_2} \approx 6 \text{ nm}$) система учун энергетик зоналар диаграммасини чиздик. 9-расмдан кўринадики, система чегарасида $2-3 \text{ nm}$ қалинликдаги ўтиш қатлами шаклланар экан. Ўтиш зонаси четлари ΔE_c қуйидаги формула ёрдамида аниқланади:

$$\Delta E_c = E_{c_1} - E_{c_2}$$

Валент зона четлари узилиши эса:

$$\Delta E_v \approx E_{v_1} - E_{v_2}$$

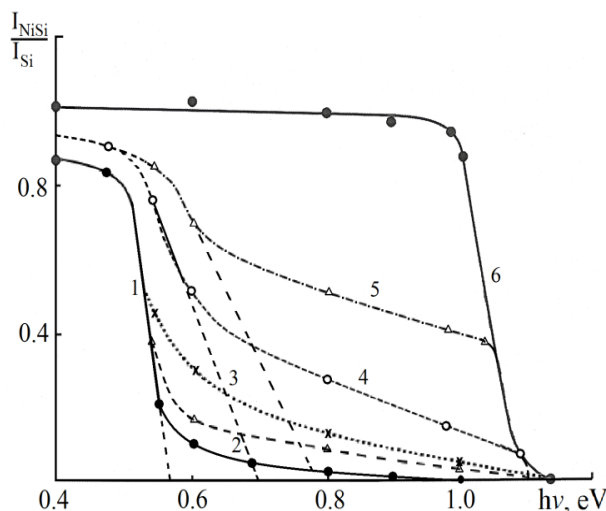
Бу формулаларға кўра NiSi_2/Si (111) контактлар учун $\Delta E_c \approx 0,4 \text{ эВ}$ ва $\Delta E_v \approx 1 \text{ эВ}$.

Si (111) va NiSi₂/Si (111) плёнкаларининг зона-энергетик, эмиссион ва оптик параметрлари

2-жадвал

Образец	d, nm	φ, эВ	Φ, эВ	E _g , эВ	χ, эВ	σ _m	Y	ρ, μОм·см
Si(111)	0	4.7	5.1	1.1	4	1.1	2·10 ⁻⁴	5·10 ⁶
NiSi ₂ /Si(111)	3.0	4.3	4	0.6	3.4	1.5	4·10 ⁻⁴	80
	6.0	-	4	0.5	3.5	1.6	4·10 ⁻⁴	60
	50.0	4.2	4	0.5	3.5	1.6	-	55

10-расмда 900-1300 К температура оралиғида NiSi₂/Si(111) учун турли температураларда қиздирилганда олинган I(hν) спектрлари келтирилган. Ҳар бир Т температурада қиздириш 40 минут давомида амалга оширилди. Кўришиб турибдики Т=900 К температурада К нинг қиймати hν ≈ 0,5 эВ дан бошлаб кескин камаяр экан. Эгри чизиқнинг шу қисмининг hν ўқиға экстраполяцияси тахминан плёнка учун E_g нинг қийматини беради ва бу катталиқ 0,58 эВ га тенг экан.



10-расм. NiSi₂/Si(111) системалар учун Т, К : 1-900 К, 2-1000 К, 3-1050 К, 4-1150, 5-1200, 6-1400 температураларда қиздиргандан сўнг олинган I(hν) боғланиш графиклари

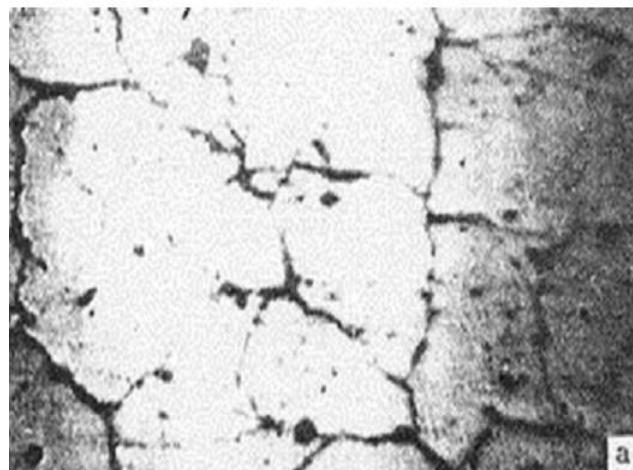
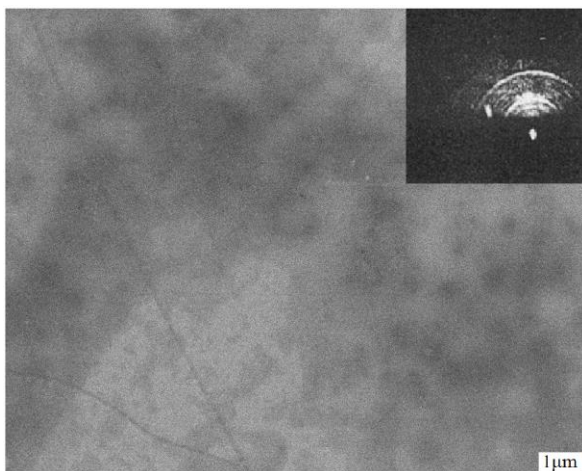
NiSi₂ плёнкаси жуда юпқа, шу сабабли энергиялар hν > 0,6 эВ бўлганда ҳам кичик интенсивликдаги ёруғлик ўтади. Т=1000 К температурада қиздирилгандан сўнг hν = 0,6-1,1 эВ энергия соҳасида ўтувчи

ёруғлик интенсивлиги сезиларли даражада ортади, бу эса NiSi₂ плёнкада микротирқишлар пайдо бўлиши билан боғлиқ бўлиши мумкин. Ҳарорат 1100 К температурагача ортганда hν > 0,6 эВ энергияларда ўтувчи ёруғлик интенсивлиги сезиларли даражада ортади ва ~0,2-0,3 ни ташкил қилади, яъни тирқиш диаметри ортади (шунингдек янги тирқишлар пайдо бўлиши мумкин). Т=1200 температурада оролчаларнинг ўртача ўлчамлари 20-25 нм гача камаяди, E_g нинг қиймати эса ортади ва ~0,78 эВ ни ташкил қилади. Т ≈ 1400 К температурада NiSi₂ плёнка юзадан тўла буғланади.

«Si (111)да ҳосил қилинган NiSi₂ яширин қатламларнинг таркиби, структураси ва электрон хусусиятлари» номли тўртинчи боб Si нинг юзаости қатламларининг турли чуқурликларида NiSi₂ нинг нанокристалл фазалари ва қатламларини олишга ва уларнинг ўлчамларини аниқлашга, зоналарнинг параметрлари ва кристалл структураларини ўрганишга, шунингдек NiSi₂/Si гетероструктура чегарасида ҳосил бўлувчи ўтиш

қатламининг электрон структураси ва уларнинг таркибини ўрганишга бағишланган.

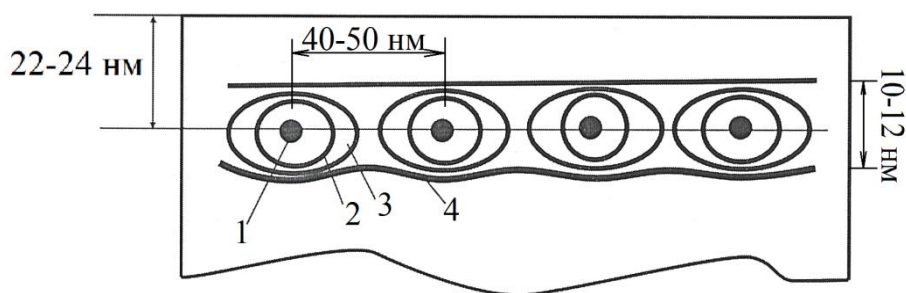
11-расмдан кўриниб турибдики, ҚФЭ ҳолида $T=1000$ К температурада Si нинг узлуксиз бир жинсли поликристалл плёнкалари қиймати ўсар экан. Si/NiSi₂ ва NiSi₂/Si(111) қатламлар орасидаги чегара кескин ва ўтиш қатламларининг қалинлиги 4-5 нм дан ошмайди.



11-расм. Si/NiSi₂/Si(111) системаси юзанинг РЭМ- ва ЭТД тасвирлари. ~50 нм қалинликдаги Si плёнкаси $T \approx 1000$ К температурада чанглантирилди.

12-расм. $T=1150$ К температурада 40 мин мобайнида қиздирилган Si/NiSi₂/Si(111) система юзанинг РЭМ тасвири

Ўстиришдан кейинги қиздириш $T \geq 900-1000$ К температураларда ρ нинг ўзгаришига олиб келади. $T \approx 1150$ К температураларда ρ минимумгача камаяди, сўнгра кескин ортади. Бу ҳол Si плёнкасининг алоҳида-алоҳида оролчаларга бўлиниши билан тушунтирилади.

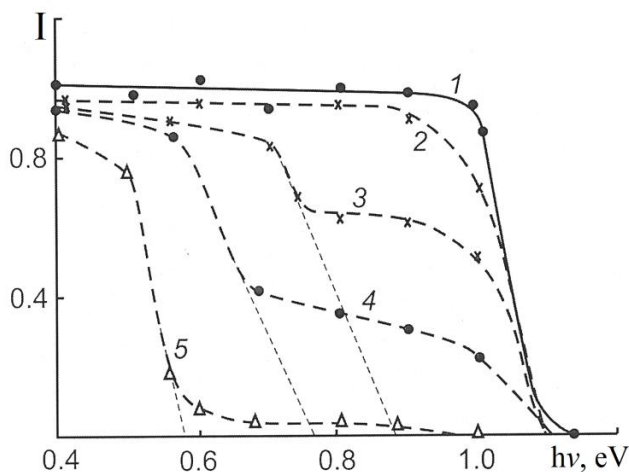


13-расм. Si нинг юзаости қатламида жойлашган нанофаза (1-3) ва наноқатламлар (4) нинг схематик тасвирлари: 1- $D=2 \cdot 10^{14}$ см⁻²; 2- $2 \cdot 10^{15}$ см⁻²; 3- $8 \cdot 10^{15}$ см⁻²; 4- $8 \cdot 10^{16}$ см⁻².

NiSi₂ монокристаллининг шаклланиши температураларида Si монокристаллининг юзаости қатламларида энергияни 15 дан 30 кэВ гача ва дозаларни 10^{14} см⁻² дан 10^{17} см⁻² гача ўзгартириб, кейинги қиздириш орқали Ni⁺ ионлари имплантацияси ёрдамида NiSi₂ нинг яширин нанокристалл фазалари ва узлуксиз қатламлари олинди. 13-расмда нанофаза ва

наноқатламларнинг кесимлари келтирилган. $D \approx 10^{15} \text{ см}^{-2}$ дозаларгача NiSi_2 нинг нанокристалл фазалари сфера кўринишида шаклланади $D > 10^{15} \text{ см}^{-2}$ ларда эса эллипсга яқин шаклга ўтади ва $D = 8 \cdot 10^{16} \text{ см}^{-2}$ дозада NiSi_2 нинг узлуксиз бир қатламини ҳосил қилади деб фараз қилиш мумкин.

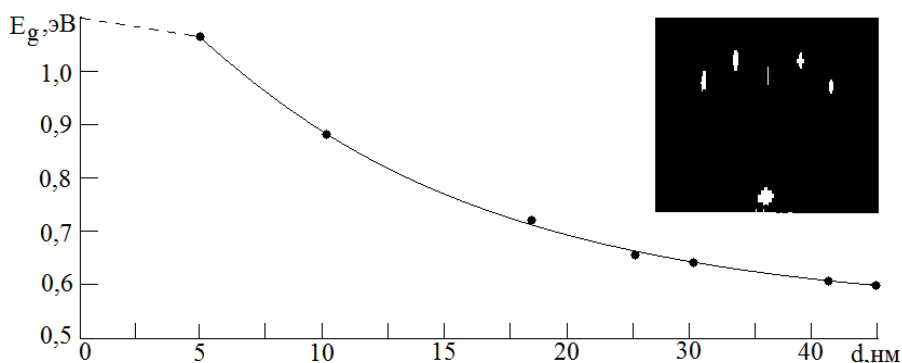
Ушбу намуналар учун I ўтувчи ёруғлик интенсивлигининг $h\nu = 0,4-1,2 \text{ эВ}$ энергия оралиғида фотонлар энергиясига боғлиқлиги олинди (14-расм).



14-расм. $E_0 = 25 \text{ кэВ}$ энергияли Ni^+ ионлари билан имплантация қилинган $\text{Si}(111)$ учун $I(h\nu)$ боғланиш графиклари. $D, \text{ см}^{-2}$: 1 - 0; 2 - $2 \cdot 10^{14}$; 3 - $2 \cdot 10^{15}$; 4 - $8 \cdot 10^{15}$; 5 - $8 \cdot 10^{16}$

Барча ҳолларда имплантациядан кейинги қиздириш $T = 800-900 \text{ К}$ температураларгача олиб борилди. Кўриниб турибдики, $d \approx 5-6 \text{ нм}$ ли NiSi_2 нанокристалл фазалари учун E_g нинг қиймати $\sim 1,07 \text{ эВ}$ ни ташкил қилади. d ортиши билан E_g нинг қиймати монотон камаяди ва $d \approx 30-35 \text{ нм}$ да $\sim 0,6 \text{ эВ}$ ни ташкил қилади, яъни узлуксиз NiSi_2 қатламидаги E_g нинг қийматига яқинлашади. NiSi_2 нанофазалари ҳолида квант-ўлчамли эффектлари $d \leq 30-35 \text{ нм}$ ларда намоён бўлади деб ҳисоблаш мумкин.

Биз шунингдек, ион имплантация методини қиздириш билан биргаликда қўллаб тўтр қатламли $\text{NiSi}_2/\text{Si}/\text{NiSi}_2/\text{Si}(111)$ системаларни олишга эришдик. Бунинг учун дастлаб яхши тозаланган Si юзага Ni^+ нисбатан юқори энергияларда ($20-30 \text{ кэВ}$) имплантация қилинди ва $30-40$ минут мобайнида $T = 900-950 \text{ К}$ температурада қиздирилди, сўнгра юзанинг худди шу қисмларига кичик энергияли ($0,5-3 \text{ кэВ}$) Ni^+ ионлари йўналтирилди ва $30-40$ минут мобайнида $T = 900-950 \text{ К}$ да қиздирилди. Кичик дозаларда ($D \leq 5 \cdot 10^{15} \text{ см}^{-2}$) юза ва юзаости қатламларида NiSi_2 нинг иккиқатламли нанофазалари, $D = D_H \approx (6-10) \cdot 10^{16} \text{ см}^{-2}$ дозаларда эса NiSi_2 нинг наноқатламлари шаклланди.

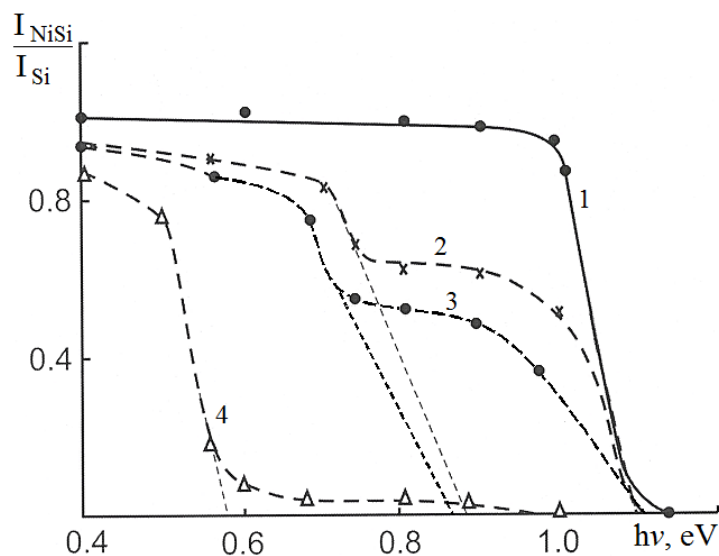


15-расм. E_g нинг NiSi_2 фазасининг НК ўлчамларига боғлиқлиги графиги. $\text{Si}/\text{NiSi}_2/\text{Si}(111)$ системаси юзанинг ЭТД тасвири.

16-расмда NiSi_2 ҳажмий нанофазали тоза $\text{Si}(111)$ ва юза ҳамда юзаости қатламларида нанофазалар бўлган $\text{Si}(111)$, шунингдек NiSi_2 нинг икки қатламга эга бўлган $\text{Si}(111)$ лар учун ёруғликнинг ютилиш спектрлари

($I(h\nu)$ боғланишлари) келтирилган. Ni^+ ионларининг энергиялари ва дозалари 15-расмда келтирилган энергия ва дозаларга мос келади. 16-расмда ги 2-эгри чизикдан кўринадикки $d \approx 10$ нм бўлган $NiSi_2$ нанокристалл фазалари учун E_g нинг қиймати $\sim 0,88$ эВ ни, бу қатламдаги нанокристалл фазалар билан қопланиш даражаси эса $\sim 0,3$ ни ташкил қилади. Юзада ва юзаости қатламларида нанофазалар бўлган Si(111)ҳолида E_g нинг қиймати атиги $\sim 0,05$ эВ га камаяди.

Ионларнинг энергияси $E_0=25$ кэВ ва 1 кэВ. Нанофаза $D \approx 10^{15}$ cm^{-2} дозадаги Ni^+ ионлари имплантацияси, наноқатлам эса $D=8 \cdot 10^{16}$ cm^{-2} дозада олинган



16-расм. 1-Si (111); 2- оролчали $NiSi_2$ нанофазали Si(111), 3- юза ва ҳажмдаги $NiSi_2$ нанофазали Si(111), 4- юза ва ҳажмдаги $NiSi_2$ наноқатламли Si(111) лар учун $I(h\nu)$ боғланиш гарафиклари.

Лекин, бу ҳолда НК нинг фазалар билан қопланиши даражаси 0,5 гача ортади. Икки қатламда ҳосил қилинган $NiSi_2$ нинг НК фазалари бу фазалар E_g сига кам таъсир қилади деб фараз қилиш мумкин, лекин юзай ва пастки қатламларнинг нанофазалар билан қисман қопланиши туфайли қопланиш даражаси $\sim 1,5$ марта ортади. 18-расмдан кўринадикки, НК фазалар учун E_g нинг қиймати $NiSi_2$ нинг узлуксиз қатламлари E_g сидан сезиларли даражада катта. $d \leq 20-25$ нм ли $NiSi_2$ нанофазалар ҳолида квант-ўлчам эффектлари аниқ намоён бўла бошлайди деб фараз қилиш мумкин.

Икки системали $NiSi_2$ учун E_g нинг қиймати амалда $NiSi_2$ нинг яширин қатлами E_g сининг қийматидан фарқ қилмайди ва $\sim 0,57$ эВ ни ташкил қилади.

Ион имплантациясидан фойдаланган ҳолда биз $NiSi_2/Si(111)$ нинг юпқа плёнкаси юзада омик контактлар олдик. Тажриба натижаларининг кўрсатишича $NiSi_2$ учун ρ нинг қиймати $4 \cdot 10^{-5}$ ни $NiSi_2/Si(111)$ учун Шоттки баландлиги 0.6 эВ ни ташкил қилар экан.

ХУЛОСА

1. Илк маротаба кремний монокристалининг оптик хусусиятларига унинг юза тартиблашмаганлигининг таъсири ўрганилди. Тартиблашмаганлик даражасининг ортиши билан ёруғликнинг ютилиш коэффициенти ортиши, ўтказиш коэффициентининг камайиши ва қайтариш коэффициентининг сезиларли даражада ўзгариши кўрсатиб берилди. Юқори дозали Ag^+ ионлари билан бомбардимон қилингандан сўнг тажриба йўли билан тартибсизлашган қатлам қалинлиги l_s баҳоланди, бу қалинлик ионлар энергияси $E_0=1$ кэВ бўлганда $l_s \approx 100-120$ Å ни, ионлар энергияси $E_0=2$ кэВ бўлганда эса $\approx 150-160$ Å ни ташкил қилди. Бу ҳолда E_g нинг қиймати атиги 0,1 эВ га ортди, валент соҳадаги электронлар ҳолат зичлиги эса кескин ўзгаради.

2. Ni ни Si га чанглангириш методида олинган $NiSi_2/Si(111)$ плёнкалар чанглангирилгандан кейин, дарҳол 40 минут мобайнида $T \approx 850-900$ К гача қиздирилди. Никелнинг қалинлиги $h_{Ni} \approx 20-60$ Å бўлганда $NiSi_2$ плёнкаси оролчалар шаклида, $h_{Ni}=80-200$ Å оралиғ да эса $NiSi_2$ нинг узлуксиз плёнка шаклида шаклланиши аниқланди. Плёнка юзанинг нотекислиги (гадир-будурлиги) 7-8 нм ни ташкил қилди.

3. Оролчалар ва узлуксиз шаклдаги $NiSi_2$ плёнкаларининг ман қилинган зоналари кенглиги бир-биридан кам фарқ қилади ва 0,58-0,6 эВ ни ташкил қилди, уларнинг солиштирма қаршиликлари эса 100 дан 1000 мартагача фарқ қилади. Оролчалар шаклидаги плёнкадан фотоэлектронларнинг спектрида Si га ҳам $NiSi_2$ га ҳам хос бўлган характерли хусусиятлар кузатилди.

4. Қиздириш билан биргаликдаги $E_0=1-5$ кэВ энергияли Ni^+ ионлари билан имплантацияси орқали Si юзада $NiSi_2$ нинг қалинлиги 25-30 Å дан 50-60 Å гача бўлган нанокристалл фазалари ва плёнкалари олинди. Биринчи маротаба $NiSi_2$ наноплёнкаларининг кристаллографик ориентациялари ва панжара доимийси тагликларнинг худди шундай параметрлари билан мос келиши кўрсатиб берилди.

5. Биринчи маротаба, $NiSi_2$ нанофазалари ва наноплёнкаларининг электрон структураси, оптик ва эмиссион хусусиятлари, энергетик зоналари параметрлари ўрганилди. $NiSi_2$ нинг валент электронлари ҳолатлари зичлиги асосан Ni нинг $3d_{5/2}$ ва $3d_{3/2}$ ҳолатларининг Si нинг 3p- ва 3s- ҳолатлари билан гибридлашуви натижасида ҳосил бўлиши кўрсатиб берилди. $NiSi_2$ фотоэлектронлари спектрида нозик структуралар шаклланишининг асосий механизмлари аниқлаб берилди. $NiSi_2/Si(111)$ системасининг зона-энергетик диаграммаси чизилди.

6. ҚФЭ ўсиш тўхтагандан кейинги $NiSi_2/Si(111)$ системасини қиздириш, дастлаб $NiSi_2$ плёнкада турли микротирқишларнинг пайдо бўлишига ($T=1000-1100$ К температура оралиғида), кейин эса оролчалар пайдо бўлишига (1150-1300 К) олиб келиши аниқлаб берилди. $T=1200$ К температурада $NiSi_2$ оролчаларнинг ўртача ўлчамлари 20-25 нм гача камаяди ва E_g нинг қиймати 0,78 эВ гача ортади, яъни квант-ўлчам эффектлари намоён бўла бошлайди.

7. ҚФЭ методида олинган уч қатламли Si/NiSi₂/Si(111) наногетеросистемаларнинг T≈1000 К температурагача қиздиришга бардош бериши кўрсатиб берилди. T≈1100 К температурада Si нинг оролчалар шаклидаги плёнкаси шаклланади, бу ҳол NiSi₂ плёнкада содир бўладиган ўзгаришлар (тирқиш ва оролчаларнинг шаклланиши) билан асослаш мумкин.

8. Биринчи маротаба иссиқликдан қиздириш билан ион имплантация методида Si да (кремнийда) NiSi₂ нинг яширин нанофазалари ва қатламлари олинди ва уларнинг таркиби, структураси, электрон ва оптик хусусиятлари ўрганилди. NiSi₂ нанофазалари ҳолида кван-ўлчам эффектларининг $d \leq 20-25$ нм ларда намоён бўлиши кўрсатиб берилди.

9. Тўрт қатламли NiSi₂/Si/NiSi₂/Si(111) наногетероструктураларни олиш методикаси ишлаб чиқилди. Система ҳар бир қатламининг зона-энергетик параметрлари аниқланди.

10. Олинган натижаларни ўтказувчан базали транзисторлар ва наноқатламли структураларда омик контактлар яратишда қўллаш бўйича илмий-асосланган тавсиялар берилди.

**НАУЧНЫЙ СОВЕТ PhD.03/31.03.2021.FM.70.06 ПО
ПРИСУЖДЕНИЮ УЧЕНЫХ СТЕПЕНЕЙ ПРИ КАРШИНСКОМ
ГОСУДАРСТВЕННОМ УНИВЕРСИТЕТЕ**

КАРШИНСКИЙ ГОСУДАРСТВЕННЫЙ УНИВЕРСИТЕТ

МУСТАФОЕВА НОДИРА МОЙЛИЕВНА

**СТРУКТУРА И ЭЛЕКТРОННЫЕ СВОЙСТВА НАНОПЛЕНОК
СИЛИЦИДОВ, ПОЛУЧЕННЫЕ МЕТОДАМИ
ВЫСОКОВАКУУМНОГО ОСАЖДЕНИЯ И ИОННОЙ
ИМПЛАНТАЦИИ**

01.04.04 – Физическая электроника

**АВТОРЕФЕРАТ ДИССЕРТАЦИИ ДОКТОРА ФИЛОСОФИИ (PhD)
ПО ФИЗИКО-МАТЕМАТИЧЕСКИМ НАУКАМ**

Карши – 2022

Тема диссертации доктора философии (PhD) зарегистрирована в высшей аттестационной комиссии при Кабинете Министров Республики Узбекистан за № В2020.2.PhD/FM506.

Диссертация выполнена в Каршинском государственном университете и Ташкентском государственном техническом университете имени Ислама Каримова.

Автореферат диссертации на трех языках (узбекский, русский, английский (резюме)) размещён на веб-странице Научного совета (www.qarshidu.uz) и на Информационно-образовательном портале «ZiyoNet» (www.ziynet.uz).

Научный руководитель:

Ташатов Алланазар Каршиевич
доктор физико-математических наук, профессор

Официальные оппоненты:

Тураев Эргаш Юлдошевич
доктор физико-математических наук, профессор

Бекпулатов Илхом Рустам ўғли
доктор философии по физике и математике, PhD.,
доцент

Ведущая организация:

Институт ионно – плазменных и лазерных технологий имени У.А. Арифова

Защита диссертации состоится «___» _____ 2022 г. в ___ часов на заседании Научного совета PhD.03/31.03.2021.FM.70.06 по присуждению ученых степеней при Каршинском государственном университете. Адрес: 180119, г. Карши, ул. Кучабог, 17. Тел./Факс: (99875) 225–34–13, e-mail: kardu@mail.ru.

С диссертацией можно ознакомиться в Информационно-ресурсном центре Каршинском государственном университете (зарегистрирована за № ___). Адрес: 180119, г. Карши, ул. кучабог, 17. Тел./Факс: (99875) 225–34–13, e-mail: kardu@mail.ru.

Автореферат диссертации разослан «___» _____ 2022 г.
(реестр протокола рассылки №__ от «___» _____ 2022 г.)

Нормурадов М.Т.
председатель Научного совета по присуждению ученых степеней, д.ф.-м.н., профессор

Аллаярова Г.Х.
ученый секретарь Научного совета по присуждению ученых степеней, д.ф.ф.-м., PhD

Донаев С.Б.
председатель научного семинара при Научном совете по присуждению ученых степеней, DSc, доцент



ВВЕДЕНИЕ (аннотация диссертации доктора философии (PhD))

Актуальность и востребованность темы диссертации. Гетероструктуры из наночастиц MeSi_2/Si , формируемые на поверхности Si с помощью востребованной техники сверхвысокочастотных транзисторов и интегральных схем, детекторов излучения, оптоэлектронных устройств, тонких омических контактов и барьерных МДП, ПДП-структур создает новые возможности для достижения перспективных результатов в области физической электроники. Быстро развивается изучение электронной структуры гетероструктур типа MeSi_2/Si и, соответственно, их оптических и электрических свойств в зависимости от размера и состава нанообъектов. Человечество хочет, чтобы чем меньше размер используемых им устройств, тем больше была его емкость. Изучение электронной структуры гетероструктур типа MeSi_2/Si и, соответственно, их оптических и электрических свойств в зависимости от размера и состава нанообъектов имеет важное значение в мире, так как открывает новые возможности в экономике, медицине, экологии, авиации и радиоэлектронике.

Несмотря на широкое использование ключевых достижений в области нанотехнологий во всем мире, эта работа все еще находится в зачаточном состоянии. Поэтому в передовых странах мира большое внимание уделяется исследованиям в области нанотехнологий. В частности, большое внимание уделяется выявлению и получению механизмов формирования наноразмерных структур MeSi_2 в поверхностных и приповерхностных слоях Si , а также определению их состава, структуры и физических свойств.

Большое внимание в нашей стране уделяется созданию новых электронных устройств, солнечных батарей, в том числе интегральных схем. Влияние неповерхностного расположения MeSi_2 на электронную структуру и оптические свойства монокристаллического кремния и электрофизические свойства, формирование пленок NiSi_2 и механизмы формирования нанокристаллической фазы в процессе имплантации низкоэнергетичных ионов в поверхностные и приповерхностные слои Si (111), определение структуры и зонально-энергетических параметров системы NiSi_2 имеет большое научное и практическое значение.

Данная диссертационная работа, в определенной степени, соответствует задачам, предусмотренным в Указе Президента Республики Узбекистан № УП – 4947 «О Стратегии действий по дальнейшему развитию Республики Узбекистан» от 7 февраля 2017 года, в Постановлениях Президента Республики Узбекистан № ПП- 2789 « О мерах по дальнейшему совершенствованию деятельности Академии наук и его организаций» от 17 февраля 2017 года и №ПП- 4422 «Об ускоренных мерах по повышению энергоэффективности отраслей экономики и социальной сферы, внедрению энергосберегающих технологий и развитию возобновляемых источников энергии» от 22 августа 2019 года, а также в других нормативно- правовых документах, принятых в Республике за последние годы в данной сфере.

Соответствие исследования приоритетным направлениям развития науки и технологий Республики Узбекистан. Диссертационная работа выполнена в соответствии с приоритетными направлениями развития науки и технологий Республики Узбекистан: I «Физика, астрономия, энергетика и машиностроение» и II «Энергетика, энерго - и ресурсосбережение, транспорт, машиностроение и приборостроение, развитие современной электроники, микроэлектроники, фотоники и электронного приборостроения»

Степень изученности проблемы В последние годы получению и изучению состава, структуры и свойств тонких пленок силицидов, особенно CoSi_2 , посвящено большое число работ. В этих системах толщина пленки силицидов составляет не менее 30–50 нм. Уменьшение толщины пленок позволяет использовать их при создании сверхвысокочастотных транзисторов и интегральных схем, работающих с предельной частотой > 100 GHz. Одним из перспективных методов получения нанокристаллов и нанопленок с толщиной $d < 5-10$ nm на поверхности полупроводников является низкоэнергетическая ионная имплантация. Л.И.Хируненко и др. обнаружили в кремнии с высоким содержанием бора и кислорода появление дефекта, которому при гелиевых температурах соответствует полоса поглощения 1026.7 см^{-1} . Легирование кремния германием снижает эффективность образования дефекта, которому соответствует выявленное поглощение.

Migas D.B. и др. расчетным путем получили зонную структуру BaSi_2 , выполненную полнопотенциальным методом FLAPW-GGA . Ajmal Khan, Yoji Imai и др. теоретическими исследованиями показали, что бор, углерод, азот и фтор наиболее энергетически выгодны для использования в качестве легирующих добавок. В последние годы резко возрос интерес к наноструктурам BaSi_2 , созданных на поверхности Si, как перспективный материал для фотоэлектронных преобразователей. В частности В.Л.Дубов и Д.В.Фомин в обзорной статье показали, что тонкопленочные ФЭП на основе $p\text{-BaSi}_2/n\text{-Si}$ обладают достаточно высоким КПД $\sim 9-10$ %.

Для получения нанопленочных систем типа CoSi_2/Si и изучения их оптических, электрических и магнитных свойств активно работают W.S.Cho, М.В.Гомонова и U.Starke со своими учениками. Ими установлены основные закономерности и выявлены механизмы формирования субмонослойных пленок CoSi_2/Si . Сотрудники Institute of Semiconductor Electronics (Германия) Facsko S. и др. бомбардировкой пучками ионов Ar^+ с энергией 420 эВ получили на поверхности (100) GaSb гексагональную кристаллическую структуру из квантовых точек диаметром 35 нм. Полученные результаты объясняются ионным распылением поверхности мишени, а также образованием на поверхности новых многокомпонентных соединений. N.N.Gerasimenko и др. имплантацией ионов Ga в Si и последующей обработкой на поверхности Si получили параллельно расположенные квантовые ямы и квантовые проволоки.

Проявления квантово-размерных эффектов в гетероструктуре GaAlAs/GaAs впервые обнаружили Р.Дингл и В.Вигман. Затем Х.В.Ченг получил периодические гетероструктуры на основе GaAs, которые применяются в твердотельных лазерах и в специальных приборах оптоэлектроники. Ж.И.Алферовым аналогичные многослойные системы созданы на основе GaP.

Проф. М.Т.Нормуродов, Б.Е.Умирзаков с учениками методом ионной имплантации в сочетании с отжигом впервые получили многослойные системы типа $\text{CoSi}_2/\text{Si}/\text{CoSi}_2/\text{Si}$, $\text{CdBaTe}/\text{CdTe}/\text{CdBaTe}/\text{CdTe}$ и изучили их электронные и кристаллические структуры, эмиссионные и оптические свойства. Ими также выяснены основные механизмы формирования наноструктур с заданными физическими свойствами.

Однако, до настоящего времени не имеются достоверных сведений о возможности получения наноразмерных фаз и слоев NiSi_2 на поверхности и в приповерхностной области Si. Интерес к получению и изучению свойств системы NiSi_2/Si обусловлен тем, что NiSi_2 и Si имеют кубическую решетки и их постоянные решетки практически не отличаются друг от друга ($a_{\text{Si}} \approx 5,41 \text{ \AA}$, $a_{\text{Ni}} \approx 5,42 \text{ \AA}$). И на границе $\text{NiSi}_2/\text{Si}(111)$ не возникают дефекты несоответствия. Кроме того, удельное сопротивление NiSi_2 составляет $\sim 50\text{-}60 \text{ мкОм}\cdot\text{см}$. Поэтому эти структуры очень перспективны в создании гетероэпитаксиальных МДП и ПДП систем.

Связь диссертационного исследования с планами научно-исследовательских работ высшего образовательного и научно-исследовательского учреждения, где выполнена диссертационная работа: Диссертационное исследование выполнено в рамках плана НИР Каршинского государственного университета по теме «Формирование микро- и наноразмерных пленок на поверхности твердых тел, изучение их структуры и свойств» (2017-2022 гг.).

Цель диссертационной работы: изучение физических закономерностей формирования наноразмерных фаз и слоев NiSi_2 на поверхности и в приповерхностной области Si при твердофазном осаждении и ионной бомбардировке, изучение их состава, электронной и кристаллической структуры, эмиссионных и оптических свойств.

Задачи исследования:

Изучение влияния разупорядочения поверхности при бомбардировке ионами Ar^+ на электронную структуру и оптические свойства монокристаллического кремния

Изучение закономерностей формирования наноразмерных пленок NiSi_2 при твердофазном осаждении Ni на Si(111) в сочетании с прогревом

Изучение морфологии поверхности, электронной и кристаллической структур, оптических и электрофизических свойств островковых и сплошных ТФЭ пленок $\text{NiSi}_2/\text{Si}(111)$

Получение и выяснение механизмов формирования нанокристаллических фаз и пленок NiSi_2 на поверхности Si(111) методом

низкоэнергетической ($E_0=0,5-5$ кэВ) ионной имплантации с последующим прогревом. Изучение морфологии, структуры, электронных и оптических свойств Si с нанокристаллами и нанопленкой NiSi₂.

Изучение закономерностей формирования скрытых наноразмерных структур NiSi₂ на различных глубинах Si(111) и изучение зависимости ширины их запрещенной зоны от размеров наночастиц, оценка размеров НК фаз NiSi₂ при которых начинают проявляться квантово-размерные эффекты.

Изучение влияния послеростового отжига на состав, морфологию и электронную структуру ТФЭ – пленок NiSi₂/Si(111).

Разработка методики получения четырехслойных гетероструктур NiSi₂/Si/NiSi₂/Si(111) и изучение структур и зонно-энергетических параметров системы.

Объектами исследования являются монокристаллические пленки и образцы Si, наночастицы и нанослои NiSi₂.

Предметом исследования являются закономерности формирования наноразмерных силицидов металлов на поверхности и в приповерхностном слое кремния.

Методы исследования. УФЭС, ОЭС, спектроскопия поглощения света, спектроскопия УОЭ, АСМ, РЭМ.

Научная новизна

установлены основные причины изменения оптических параметров монокристаллического Si при разупорядочении поверхности бомбардировкой ионами Ar⁺

показано, что при ТФЭ росте пленки NiSi₂ до толщины 180-250 Å наблюдается островковый рост, а при $h_{NiSi_2} \geq 250$ Å формируются сплошные пленки. Впервые изучены морфология поверхности, состав, электронная и кристаллическая структура ТФЭ пленок NiSi₂/Si(111)

изучены закономерности изменения морфологии, состава и электронной структуры пленок NiSi₂/Si(111) при прогреве в интервале $T \approx 1000-1400$ К. Определены размеры наночастиц при которых начинают проявляться квантово-размерные эффекты.

получены и изучены наночастицы и наночастицы NiSi₂, встречающиеся при различной толщине Si (111), и методом ТФЭ определены их состав, ширина запрещенной зоны, равная 0,6 эВ, параметры энергетических зон и плотность распределения электронов в валентной зоне

изучены процессы формирования четырехслойных эпитаксиальных нанослойных систем NiSi₂/Si/NiSi₂/Si(111) при имплантации ионов Ni в Si с последующим отжигом.

Практические результаты исследования:

Имплантацией ионов Ni на поверхности и в приповерхностной области Si получены наноструктуры силицидов, определены их состав, размеры, кристаллическая и электронная структуры. Предложена методика поэтапного ионного легирования и установлены оптимальные режимы формирования

многослойных систем $\text{NiSi}_2/\text{Si}/\text{NiSi}_2/\text{Si}(111)$, имеющих перспективы в создании новых приборов электронной техники.

Достоверность полученных результатов исследований обеспечивается необходимой статистикой экспериментов, использованием комплекса независимых взаимодополняющих современных методов измерения и обработки данных, а также соответствием полученных результатов по чистым образцам Si с данными других авторов.

Научная и практическая значимость результатов исследования

Научная значимость результатов исследования заключается в том, что новые результаты исследований электронной структуры, оптических и эмиссионных характеристик наноразмерных структур MeSi_2 , образующихся в поверхностных и приповерхностных слоях Si, являются фундаментальной основой для выращивания квантовых материалов и создания новых мультигетероструктур.

Практическая значимость результатов исследований заключается в том, что созданные методы в дальнейшем могут быть использованы для создания скрытых слоев MeSi_2 и их оптических свойств, изучения параметров зон и других материалов.

Внедрения результатов исследования: Полученные научные результаты о структуре и электронных свойствах кремниевых нанопленок, полученных методами ионной имплантации и высоковакуумного осаждения были использованы при реализации фундаментального проекта ОТ – Ф3–13 «Механизмы формирования многослойных нанопленочных структур, не содержащих кремний-силицид-металл и их механизмы». (справка № 2/1255-122 от 19 января 2022 года Академии наук Республики Узбекистан). В результате удалось смоделировать влияние однократного переходного тока на границе оксид-полупроводник транзистора FinFET;

Научные выводы о формировании четырехслойной эпитаксиальной нанослойной системы $\text{NiSi}_2/\text{Si}/\text{NiSi}_2/\text{Si}(111)$ путем имплантации Ni в Si и последующего нагрева применялись при контактной сварке электронных компонентов производства АО «Узэлтехсаноат» «Фотон». (справка № 362 от 05.10.2021 АО «Узэлтехсаноат»). В результате получается светочувствительный сенсор на основе кремния, легированного входными атомами.

Апробация результатов исследования. Результаты данного исследования были представлены и обсуждены на 12 международных и 5 республиканских научно – практических конференциях.

Опубликованность результатов исследований. Полученные результаты по теме диссертации изложены в 22 научных трудах, в том числе 5 из них в изданиях, рекомендованных Высшей аттестационной комиссией Республики Узбекистан по публикациям научных результатов докторских диссертаций из них 3 в международных и 2 в республиканских журналах.

Структура и объем диссертации. Диссертационная работа состоит из введения, четырех глав, заключения, списка литературы. Работа изложена на 126 страницах машинописного текста, включая 59 рисунков и 4 таблицы.

ОСНОВНОЕ СОДЕРЖАНИЕ РАБОТЫ

Во введении обоснованы актуальность и востребованность темы диссертации, определена связь исследований с основными приоритетными направлениями развития науки и технологий в республике, приведены обзор научных исследований по теме диссертации, степень изученности проблемы, сформулированы цели и задачи, определены объекты, предметы и методы исследования, изложена научная новизна исследования, обоснована достоверность полученных результатов, раскрыта их теоретическая и практическая значимость, приведены краткие сведения о внедрении результатов и апробации работы, а также об объеме и структуре диссертации.

В первой главе **«Краткий анализ литературных данных по получению и изучению свойств наноразмерных структур на основе кремния»** анализируются новые данные исследований по изучению эмиссионных и оптических свойств кремния и соединений на его основе, применению ионной бомбардировки для получения наноразмерных фаз на поверхности и в приповерхностной области Si, методы получения, структура и свойства многослойных пленок.

Критический анализ экспериментальных работ показывает, что до начала настоящей работы не получены наноразмерные фазы и слои NiSi₂ на поверхности и в приповерхностной области Si и не определены оптимальные условия их синтеза, не изучены влияние разупорядочения тонких поверхностных слоев на электронные и оптические свойства Si (111), не исследованы влияние образования наноструктур NiSi₂ на кристаллическую и электронную структуру, не изучены морфология поверхности, эмиссионные, оптические и электрофизические свойства нанопленок NiSi₂/Si, полученных методами твердофазной эпитаксии и ионной имплантации, не определены ширина запрещенной зоны нанокристаллов NiSi₂, созданных на различных глубинах приповерхностной области Si, не имеются сведения о проявлении квантово-размерных эффектов в нанокристаллах и слоях NiSi₂.

Во второй главе **«Методика экспериментальных исследований»** были описаны конструкция и принцип работы СВВ экспериментальной установки для ионного легирования и комплексного исследования поверхностных свойств материалов. Приведено также описание стандартной экспериментальной установки LAS-2200. Исследования проводились с использованием методов: измерения энергетических зависимостей коэффициентов вторичной электронной эмиссии (ВЭЭ) и квантового выхода фотоэлектронов, оже-электронной спектроскопии (ОЭС), спектроскопии упруго-отраженных медленных электронов (СУОЭ), спектроскопии характеристических потерь энергии электронов (СХПЭЭ), ультрафиолетовая

фотоэлектронная спектроскопия (УФЭС), а также растровая электронная микроскопия (РЭМ), атомно-силовая микроскопия (АСМ) и дифракция быстрых электронов (ДБЭ).

В третьей главе «**Морфология поверхности, состав, структура, электронные и оптические свойства нанопленок NiSi₂, полученные методами твердофазной эпитаксии и ионной имплантации**» приводятся результаты исследований влияния разупорядочения тонких поверхностных слоев на электронные и оптические свойства Si (111); морфология поверхности пленок NiSi₂/Si, полученных методом твердофазной эпитаксии; электронные и оптические свойства нанопленок NiSi₂/Si, полученных имплантацией ионов Ni в Si в сочетании с отжигом, зависимость состава и параметров энергетических зон от глубины ионно-легированного слоя для Si, влияние послеростового прогрева на морфологию тонких пленок NiSi₂/Si(111).

На рис. 1 приведены угловые зависимости коэффициента η измеренные при энергии первичных электронов $E_p = 500$ эВ для Si (111), бомбардированного ионами Ar⁺ с $E_0 = 1$ кэВ разными дозами. Зависимость $\eta(\varphi)$ дает исчерпывающие сведения о степени разупорядочения поверхности монокристаллов.

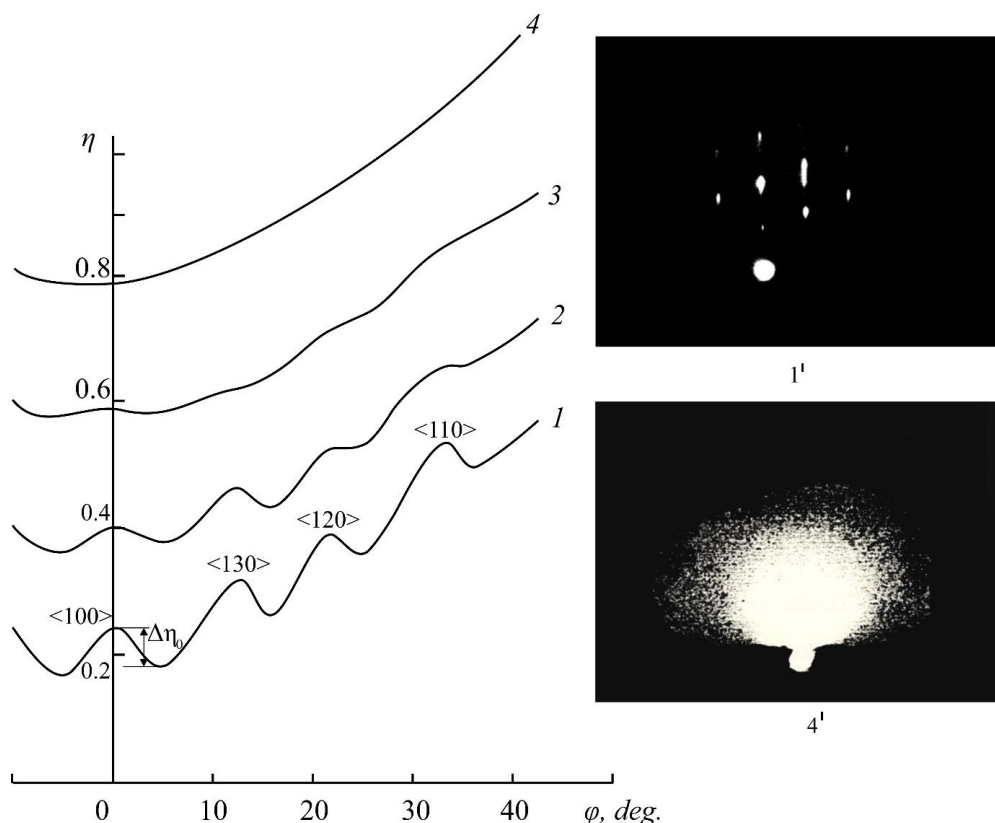


Рис. 1. Зависимости $\eta(\varphi)$, снятые при $E_p=500$ эВ (кривые 1-4) и ДБЭ-изображения поверхности (1' и 4') для пленки Si/CaF₂ (111), бомбардированного ионами Ar⁺ с $E_0=1$ кэВ при дозах D , см⁻²: 1 и 1' – $D = 0$; 2 – $D = 5 \cdot 10^{14}$; 3 – $D = 5 \cdot 10^{15}$; 4 и 4' – $D = 5 \cdot 10^{16}$ см⁻². Кривые 2, 3, 4 сдвинуты на 0.2; 0.4 и 0.6 относительно кривой 1.

Результаты ОЭС показали, что в процессе ионной бомбардировки состав поверхности практически не меняется. На зависимости $\eta(\varphi)$ чистого Si(111) с ростом φ наряду с ростом η наблюдается ряд максимумов, положения которых соответствуют определенным кристаллографическим направлениям. Наибольшие максимумы наблюдаются при $\varphi = 0$, которые соответствуют направлению $\langle 100 \rangle$ Si. Разность значений между первым максимумом и минимумом $\Delta\eta_0$ составляет 0.07. По мере увеличения дозы ионов тонкая структура кривых $\eta(\varphi)$ сглаживается и при $D = 5 \cdot 10^{16}$ см⁻² полностью исчезает (кривая 4). При этой дозе на ДБЭ-изображении вместо рефлексов (вставка 1') устанавливается одно большое пятно (гало), характерное для аморфных веществ (вставка 4'). Дальнейшее увеличение дозы не приводит к заметным изменениям зависимости $\eta(\varphi)$ и ДБЭ-изображений.

Разупорядочение приповерхностного слоя Si (111) приводит к уменьшению коэффициента пропускания света K во всей исследуемой области энергии фотонов ($h\nu = 0.4 - 1.5$ эВ) и следовательно, уменьшению крутизны линейного участка кривой $K(h\nu)$ (рис. 2).

В случае поглощения света для экспоненциального участка зависимость коэффициента поглощения α от энергии фотонов можно оценить по формуле, приведенной для кристалла CdSeS:

$$\alpha = \alpha_0 e^{\frac{-(E_g - h\nu)}{E_0}} \quad (1)$$

где E_0 – характеристическая энергия, которая определяет крутизну края и дает информацию о флуктуации величин межатомных расстояний. Из рис. 3 видно, что пленка NiSi₂ толщиной ~ 50 Å (образец № 1) имеет островковый характер. Эти островки имеют форму конуса (или пирамиды) и их высота достигает до 7 – 8 нм.

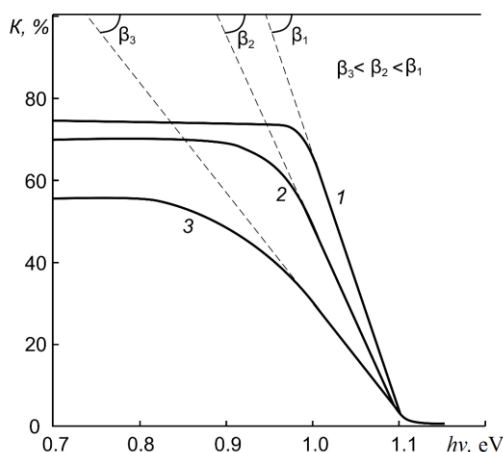


Рис. 2. Зависимости $K(h\nu)$ для пленки Si(111), бомбардированной ионами Ar⁺ с $E_0 = 1$ кэВ при дозах D , см⁻²: 1 – 0; 2 – $5 \cdot 10^{15}$; 3 – $5 \cdot 10^{16}$

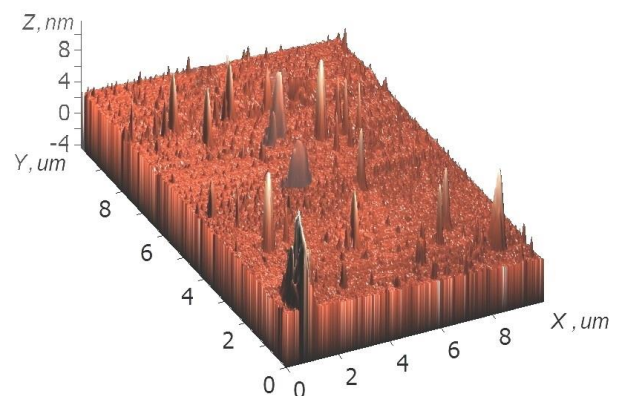


Рис. 3. АСМ - изображения поверхности Si (111) с пленкой NiSi₂ толщиной 50 Å.

Дальнейшее увеличение толщины пленок (времени твердофазного осаждения) не приводило к заметному росту высоты основных островков. При этом наблюдалось увеличение поверхностных размеров крупных островков и увеличение трех размеров мелких островков. В случае пленки NiSi_2 с $h = 150 \text{ \AA}$ практически 80 – 85 % поверхности Si покрываются островками NiSi_2 (рис. 4). Размеры островков составляют 0,3 – 0,5 мкм. При этом на ДБЭ картине обнаруживаются концентрические кольца характерные для поликристаллических образцов. После прогрева при $T = 800 \text{ K}$ происходит кристаллизация пленки, однако кристаллографические направления отдельных кристаллических фаз не совпадают друг с другом.

На рис. 5 приведена зависимость интенсивности проходящего света I от энергии фотонов $h\nu$ для Si с нанопленкой NiSi_2 с $h = 50 \text{ \AA}$ и $h = 200 \text{ \AA}$. В случае Si с пленкой NiSi_2 толщиной 50 \AA , резкое уменьшение интенсивности проходящего света наблюдается при двух значениях $h\nu$. Уменьшение I начиная с $h\nu = 0,5 \text{ эВ}$ связано с поглощением света на участках покрытых nanoостровками NiSi_2 , а уменьшение I с $h\nu = 1 \text{ эВ}$ – не закрытых nanoостровками NiSi_2 .

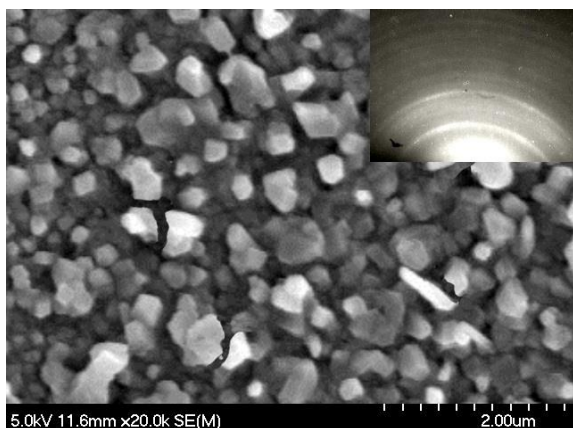


Рис. 4. РЭМ - изображения поверхности Si (111) с пленкой NiSi_2 толщиной 150 \AA (образец № 3).

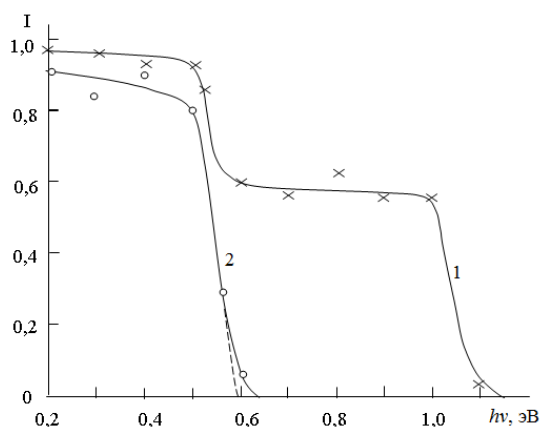


Рис. 5. Зависимость $I(h\nu)$ для Si с нанопленкой NiSi_2 толщиной $h, \text{ \AA}$: 1 – 50 (образец № 1), 2 – 200 (образец № 4).

Экстраполяция этих кривых к оси $h\nu$ показывает, что значение E_g для $\text{NiSi}_2 \sim 0,6 \text{ эВ}$, а для Si - $\sim 1,1 \text{ эВ}$. В случае сплошной пленки NiSi_2 значение I резко уменьшается до нуля в интервале $h\nu = 0,5 - 0,6 \text{ эВ}$.

Видно, что в случае островковой пленки значение ρ очень высоко. При $h_{\text{NiSi}_2} = 200 \text{ \AA}$ формируется сплошная пленка, однако значение ρ немного больше, чем ρ пленки с толщиной 550 \AA . По-видимому, при $h = 200 \text{ \AA}$ пока еще пленки не имеют высокое совершенство.

На рис. 6. приведены фотоэлектронные спектры p-тип Si (111) и Si с нанокристаллами и нанопленкой NiSi_2 , полученные при $h\nu = 10,8 \text{ эВ}$. Видно,

что форма и положения основных пиков толстой пленки NiSi₂ (h = 200 Å) существенно отличаются от формы и положения пиков для Si. При этом на спектре обнаруживаются пики с энергиями E_{св} = - 0,3; - 0,9; - 2,2 и - 4,2 эВ.

В таблице 1 представлены оптимальные режимы формирования ТФЭ пленок NiSi₂/Si (111) и значения их удельного сопротивления.

таблица 1

Номер образца	h _{Ni} , Å	h ⁰ _{NiSi₂} , Å	T _{эпит.} , К	Вид пленки	ρ, мкОм·см
1	15 – 20	50	800	островковая	2·10 ⁵
2	35 – 40	100	850	островковая	5·10 ²
3	50 – 60	150	850	островковая	–
4	80	200	900	сплошная, н.о.*	100
5	200	950	сплошная, о.**	50	

Анализ этого спектра и сравнение его со спектрами Si и Ni дает возможность предполагать, что пик с E_{св} = - 0,3 эВ формируется вследствие гибридизации M₃ состояний кремния и M₅ состояний Ni, пик с E_{св} = - 0,9 эВ – вследствие гибридизации M₂ состояния Si и M₃ состояния Ni, пик с E_{св} = - 2,2 эВ – вследствие гибридизации M₁ состояния Si и M₄ состояния Ni, а пик с E_{св} = - 4,2 эВ, по-видимому, относится к Si. Пленка NiSi₂ с h = 50 Å имеет островковый характер, поэтому на его спектре обнаруживаются пики характерные как для Si, так и NiSi₂.

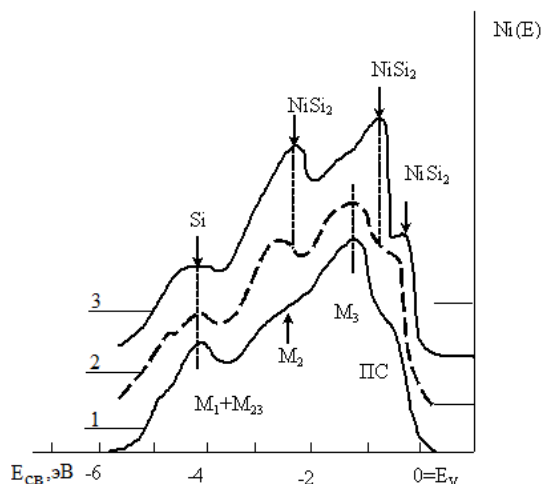


Рис. 6. УФЭС Si с нанопленкой NiSi₂ толщиной h, Å: 1 – 0, 2 – 50, 3 – 200.

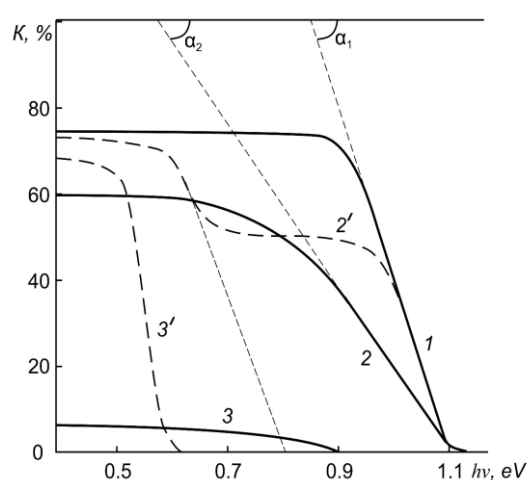


Рис. 7. Зависимости K(hv) для Si (111), имплантированного ионами Ni⁺ с E₀ = 1 кэВ при дозах D, см⁻²: 1 – 0; 2 – 10¹⁵; 3 – 6·10¹⁶. 2' и 3' – после прогрева при T=900К

На рис. 7 приведены зависимости $K(h\nu)$ для Si (111) имплантированного ионами Ni^+ с $E_0 = 1$ кэВ при дозах $D = 10^{15}$ и $6 \cdot 10^{16}$ $см^{-2}$. При $D = 10^{15}$ $см^{-2}$ на поверхности Si (111) формируются отдельные кластерные фазы состоящие в основном из несвязанных атомов Si, Ni и соединений типа NiSi и NiSi₂. Через эти фазы свет практически не проходит, поэтому значение K резко уменьшается до 40 – 50 %, т.е. можно полагать, что степень покрытия поверхности этими фазами составляет ~ 0.4 . При $D = D_{sat.} = 6 \cdot 10^{16}$ $см^{-2}$ интенсивность проходящего света при $h\nu \leq 0.5 - 0.6$ эВ составляет $\sim 8 - 10$ %, а при $h\nu \geq 0$ – не превышала 3 – 5 %. По-видимому, наличие некоторого количества ($\sim 15 - 20$ ат.%) соединений типа NiSi, NiSi₂ и несвязанных атомов Si способствует прохождению света с очень малой интенсивностью. При имплантации ионов Ni наряду с аморфизацией резко изменяется состав приповерхностных слоев, значение E_g уменьшается до 0.2 – 0.3 эВ следовательно, экспоненциальная часть кривой $K(h\nu)$ резко увеличивается.

После прогрева этих же образцов при $T = 900$ K на поверхностных слоях Si формируются эпитаксиальные нанокристаллические фазы и пленки NiSi₂ с толщиной 50 – 60 Å. Следовательно, структура зависимости $K(h\nu)$ резко изменяется (кривые 2' и 3'). Экстраполяция этих кривых к оси $h\nu$ показывает, что E_g нанокристалла NiSi₂ в данном случае составляет 0.8 эВ, а нанопленки – 0.6 эВ. Кристаллизация приводит к существенному росту значения K .

Формирование пленки NiSi₂ приводит к существенному изменению плотности состояния валентных электронов. Явно выраженные особенности в ней обнаруживаются при энергиях –1.0, –2.7 и –4.0 эВ.

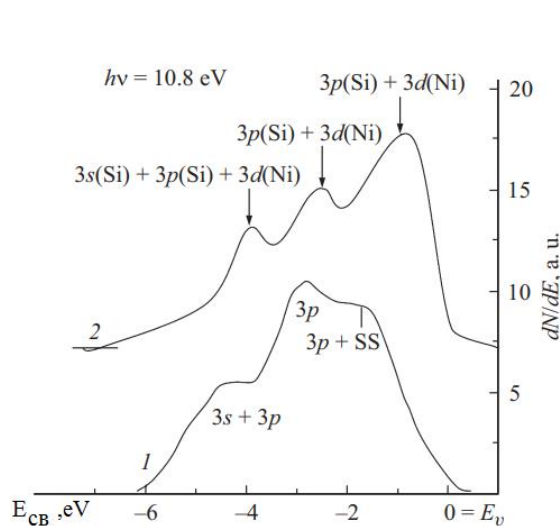


Рис. 8. УФЭС для 1 – n-тип Si (111); 2- нанопленки NiSi₂/Si (111) с $d = 3.5-4.0$ nm

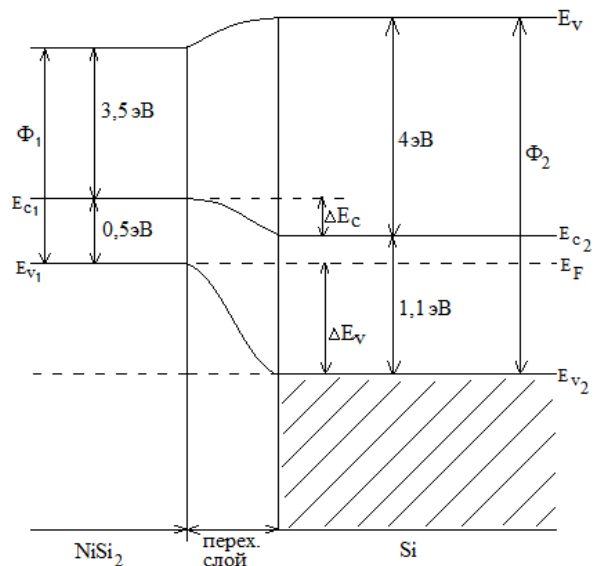


Рис. 9. Примерная зонно-энергетическая диаграмма системы NiSi₂/Si(111)

Эти особенности, по-видимому, формируются вследствие гибридизации 3d (3d_{5/2} и 3d_{3/2}) состояния Ni с 3p- и 3s-состояниями Si. В таблице 2 приведены некоторые физические параметры Si и пленки NiSi₂/Si с толщиной $d = 3.0$ и

6.0 nm, где ϕ и Φ - термо- и фотоэлектронная работы выхода, E_g - ширина запрещенной зоны, χ - сродство к электрону, σ_m - максимальное значение коэффициента ВЭЭ, Y - квантовый выход фотоэлектронов, ρ - удельное сопротивление.

Таблица 2

Зонно-энергетические, эмиссионные и оптические параметры Si (111) и пленки NiSi₂/Si (111)

Образец	d, nm	ϕ , эВ	Φ , эВ	E_g , эВ	χ , эВ	σ_m	Y	ρ , $\mu\text{Ом}\cdot\text{см}$
Si(111)	0	4.7	5.1	1.1	4	1.1	$2\cdot 10^{-4}$	$5\cdot 10^6$
NiSi ₂ /Si(111)	3.0	4.3	4	0.6	3.4	1.5	$4\cdot 10^{-4}$	80
	6.0	-	4	0.5	3.5	1.6	$4\cdot 10^{-4}$	60
	50.0	4.2	4	0.5	3.5	1.6	-	55

На основе таблицы 2 нами построена энергетическая зонная диаграмма системы NiSi₂/Si ($d_{\text{NiSi}_2} \approx 6$ нм). Из рис.9 видно, что на границе системы формируется переходной слой толщиной 2-3 нм. Разрыв краев зоны проводимости ΔE_c определялся по формуле

$$\Delta E_c = E_{c_1} - E_{c_2}$$

Разрыв краев валентных зон:

$$\Delta E_v \approx E_{v_1} - E_{v_2}$$

Согласно этим формулам для контакта NiSi₂/Si (111) $\Delta E_c \approx 0,4$ эВ и $\Delta E_v \approx 1$ эВ.

На рис. 10. приведены спектры $I(h\nu)$ для NiSi₂/Si(111), полученные после прогрева при различных температурах в интервале 900-1300 К. Прогрев при каждой T проводился в течение 40 мин. Видно, что при T=900 К значение K резко уменьшается, начиная с $h\nu \approx 0,5$ эВ. Экстраполяция этой части кривой к оси $h\nu$ приблизительно даёт значение E_g пленки, которая равно 0,58 эВ. Пленка NiSi₂ очень тонкая, поэтому малоинтенсивный свет проходит и при $h\nu > 0,6$ эВ.

После прогрева при T=1000 К интенсивность проходящего света в области $h\nu = 0,6-1,1$ эВ заметно увеличивается, что связано с формированием микроотверстий в пленке NiSi₂. При увеличении T до 1100 К интенсивность света проходящего при $h\nu > 0,6$ эВ существенно увеличивается и составляет ~0,2-0,3., т.е. диаметры отверстий увеличиваются (может быть появляются также новые отверстия).

При T=1200 средние размеры островков уменьшаются до 20-25 нм, а значение E_g увеличивается и составляет ~0,78 эВ. При T \approx 1400 К пленка NiSi₂ полностью испаряется с поверхности.

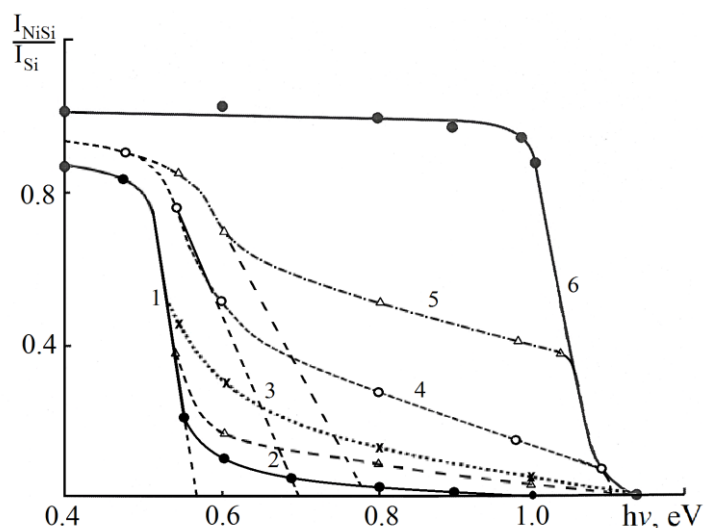


Рис. 10. Зависимости $I(h\nu)$ для системы $\text{NiSi}_2/\text{Si}(111)$, измеренных после прогрева при T, K : 1-900 К, 2-1000 К, 3-1050 К, 4-1150, 5-1200, 6-1400

Четвертая глава «**Состав, структура и электронные свойства скрытых слоев NiSi_2 , созданных в $\text{Si}(111)$** » посвящена получению нанокристаллических фаз и слоев NiSi_2 на различных глубинах приповерхностной области Si и определению их размеров, изучению кристаллической структуры и параметров зон, а также изучению изменения состава и электронной структуры в переходном слое, образующихся на границе гетероструктуры NiSi_2/Si .

Из рис. 11. видно, что в случае ТФЭ при $T=1000 \text{ K}$ растёт сплошная однородная поликристаллическая пленка Si . Граница раздела между слоями Si/NiSi_2 и $\text{NiSi}_2/\text{Si}(111)$ резкая и толщина переходных слоев не превышает 4-5 нм.

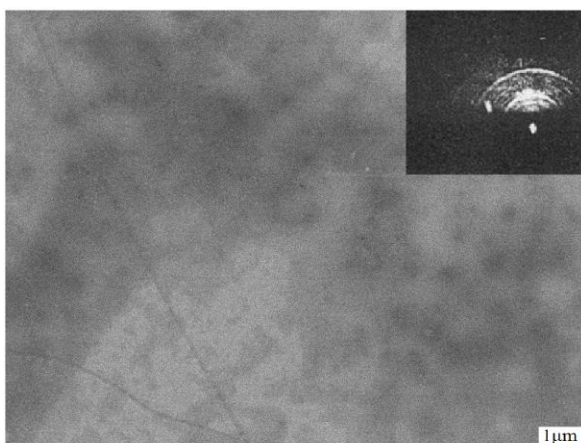


Рис. 11. РЭМ- и ДБЭ (вставка) изображения поверхности системы $\text{Si}/\text{NiSi}_2/\text{Si}(111)$. Пленка Si напылялась при $T \approx 1000 \text{ K}$ толщиной $\sim 50 \text{ nm}$

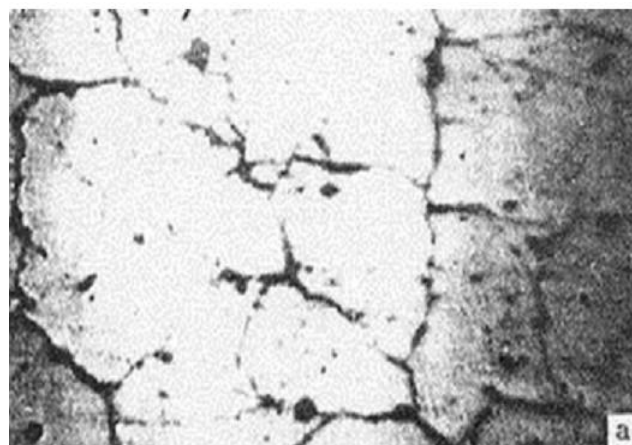


Рис. 12. РЭМ – изображение поверхности системы $\text{Si}/\text{NiSi}_2/\text{Si}(111)$, подвергнутой прогреву при $T=1150 \text{ K}$ в течение 40 мин

Послеростовый отжиг приводит к изменению ρ при $T \geq 900-1000$ К. При $T \approx 1150$ К, ρ уменьшается до минимума а затем резко увеличивается. Последнее объясняется разложением пленки Si на отдельные островки.

Скрытые нанокристаллические фазы и сплошные слои NiSi_2 в приповерхностном слое монокристаллического Si, полученные имплантацией ионов Ni^+ с вариацией энергии E_0 от 15 до 30 кэВ и дозы от 10^{14} см^{-2} до 10^{17} см^{-2} с последующим отжигом при температуре формирования монокристаллического NiSi_2 .

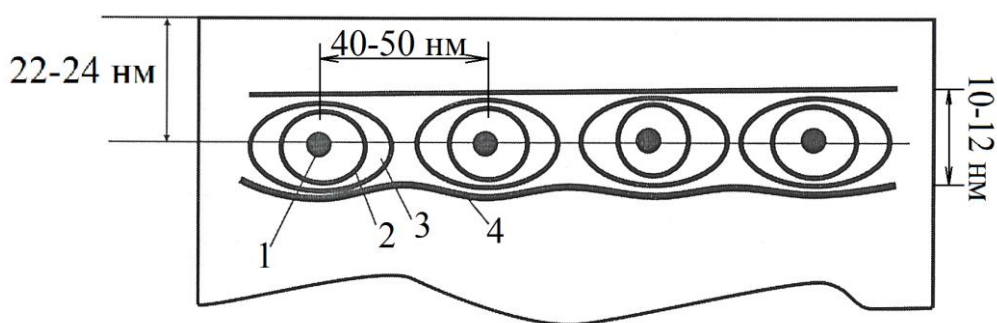


Рис.13. Схематические изображения нанокристаллических фаз (1-3) и нанослоя (4) NiSi_2 , расположенных в приповерхностном слое Si. 1- $D=2 \cdot 10^{14}$ см^{-2} ; 2- $2 \cdot 10^{15}$ см^{-2} ; 3- $8 \cdot 10^{15}$ см^{-2} ; 4- $8 \cdot 10^{16}$ см^{-2} .

На рис. 13. представлен схематический разрез нанокристаллических фаз и нанослоя. Можно полагать что до дозы $D \approx 10^{15}$ см^{-2} нанокристаллические фазы NiSi_2 формируются в виде сфер, а при $D > 10^{15}$ см^{-2} переходят в форму близкую к эллипсоиду и при $D = 8 \cdot 10^{16}$ см^{-2} образуется сплошной однородный слой NiSi_2 .

Для этих образцов были сняты зависимости интенсивности I проходящего света от энергии фотонов в интервале $h\nu = 0,4-1,2$ эВ (рис.14).

Видно, что значение E_g для НК фаз NiSi_2 с $d \approx 5-6$ нм составляет $\sim 1,07$ эВ. С ростом d значение E_g монотонно уменьшается и при $d \approx 30-35$ нм составляет $\sim 0,6$ эВ, что приближается к E_g сплошного слоя NiSi_2 . Можно полагать, что в случае нанокристаллических фаз NiSi_2 квантово-размерные эффекты проявляются при $d \leq 30-35$ нм.

Нами также методом ионной имплантации в сочетании с отжигом получена четырехслойная система $\text{NiSi}_2/\text{Si}/\text{NiSi}_2/\text{Si}(111)$. Для этого ионы Ni^+ сначала имплантировались в Si сравнительно с высокой энергией (20-30 кэВ), после чего образец прогревался при $T=900-950$ К в течение 30-40 мин., а затем на этот же участок поверхности ионы Ni^+ направлялись с низкой энергией (0,5-3 кэВ) и прогревались при $T=900-950$ К в течение 30-40 мин.

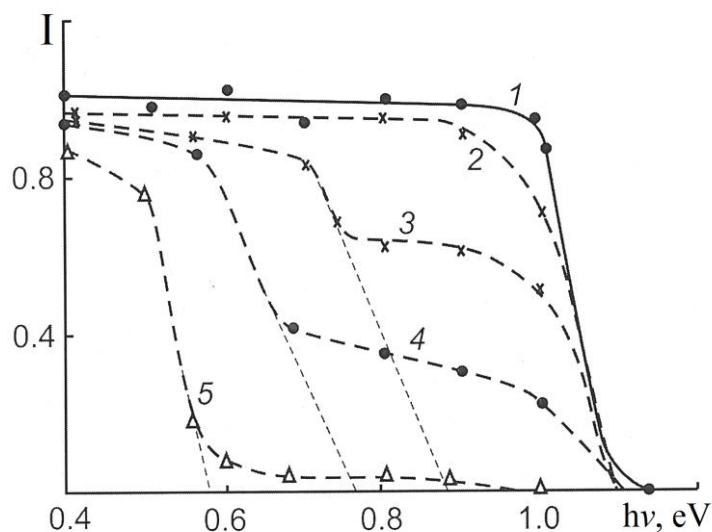


Рис.14. Зависимости $I(h\nu)$ для Si (111), имплантированного ионами Ni^+ с $E_0=25$ кэВ, при дозах D , $см^{-2}$: 1 - 0; 2 - $2 \cdot 10^{14}$; 3 - $2 \cdot 10^{15}$; 4 - $8 \cdot 10^{15}$; 5 - $8 \cdot 10^{16}$. Во всех случаях после имплантации проводился прогрев до $T=800-900$ К.

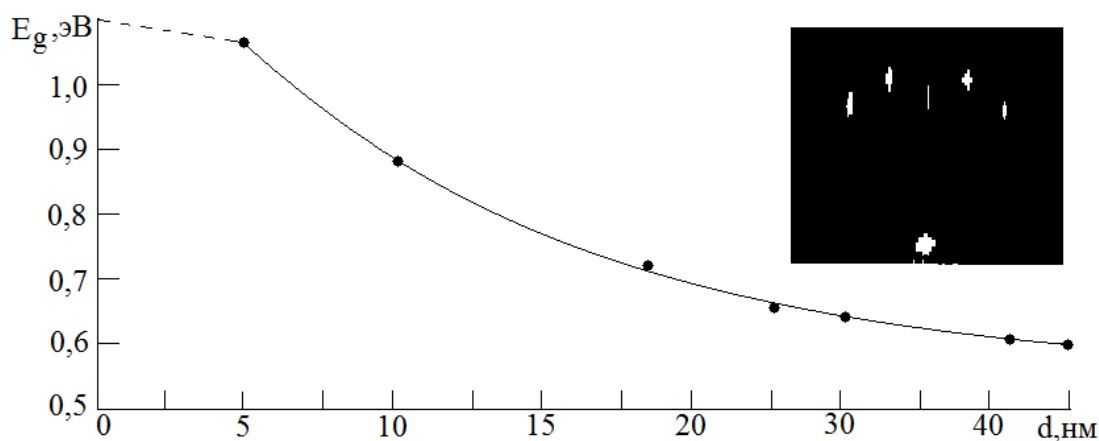


Рис.15. Зависимость E_g от размеров НК фаз $NiSi_2$. На вставке ДБЭ картина поверхности системы Si/ $NiSi_2$ /Si(111)

При низких дозах ($D \leq 5 \cdot 10^{15} \text{ см}^{-2}$) формировались двухслойные нанofазы $NiSi_2$ на поверхности и в приповерхностном слое, а при $D=D_H \approx (6-10) \cdot 10^{16} \text{ см}^{-2}$ – нанослой $NiSi_2$.

На рис. 16 приведены спектры поглощения света (зависимости $I(h\nu)$) для чистого Si(111), Si(111) с объемными нанofазами $NiSi_2$ и Si(111) с нанofазами на поверхности и в приповерхностном слое, а также Si(111) с двумя нанослоями $NiSi_2$. Энергии и дозы ионов Ni^+ соответствует энергиям и дозам, приведенным на рис 15. Из кривой 2 рис.16 видно, что значение E_g для нанокристаллических фаз $NiSi_2$ с $d \approx 10$ нм составляет $\sim 0,88$ эВ, а степень покрытия в этом слое нанокристаллическими фазами составляет $\sim 0,3$. В случае Si(111) с нанofазами на поверхности и в приповерхностном слое значение E_g уменьшается всего лишь на $\sim 0,05$ эВ.

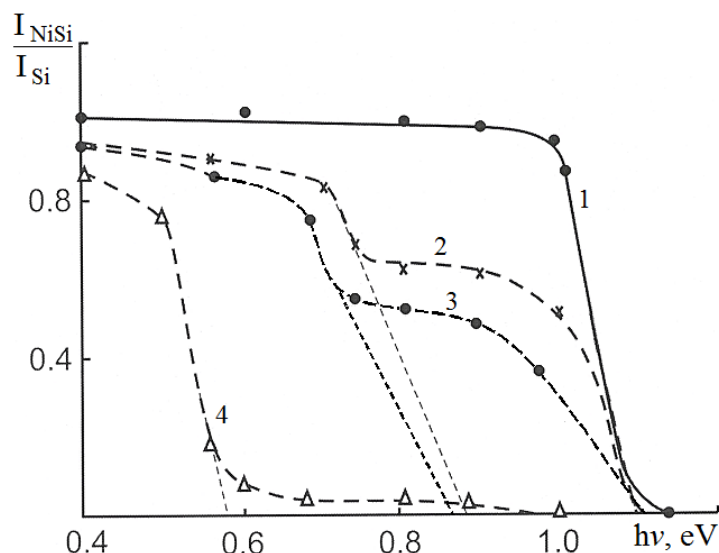


Рис. 16. Зависимости $I(h\nu)$ для: 1-Si (111); 2-Si(111), с скрытыми нанофазами NiSi_2 , 3- Si (111) с нанофазами NiSi_2 на поверхности и в объеме, 4-Si (111) с нанослоями NiSi_2 на поверхности и в объеме. Энергия ионов $E_0=25$ кэВ и 1 кэВ. Нанофаза получена имплантацией ионов Ni^+ с $D \approx 10^{15} \text{ см}^{-2}$, нанослой - с $D=8 \cdot 10^{16} \text{ см}^{-2}$.

Однако, при этом степень покрытия НК фазами увеличивается до 0,5. Можно полагать, что НК фазы NiSi_2 , созданные на двух слоях, мало влияют на E_g этих фаз, однако из-за частичного перекрытия нанофаз поверхностного и нижнего слоев степень покрытия увеличивается в $\sim 1,5$ раза. Из рис. 16. видно, что значения E_g для НК фаз значительно больше, чем E_g сплошных слоев NiSi_2 . Можно полагать, что в случае нанофаз NiSi_2 с $d \leq 20\text{-}25$ нм явно проявляются квантово-размерные эффекты.

Что касается двухслойной системы NiSi_2 , то значение E_g практически не отличается от E_g скрытого слоя NiSi_2 и составляет $\sim 0,57$ эВ.

С использованием ионной имплантации нами получены омические контакты на поверхности тонких пленок $\text{NiSi}_2/\text{Si}(111)$. Результаты экспериментов показали, что значение ρ NiSi_2 составляет $4 \cdot 10^{-5}$, а высота Шоттки $\text{NiSi}_2/\text{Si}(111)$ составляет 0.6 эВ.

Заключение

1. Впервые изучено влияние разупорядочения поверхности монокристаллического кремния на его оптические свойства. Показано, что с ростом степени разупорядочения коэффициент поглощения света увеличивается, коэффициент пропускания - уменьшается, а коэффициент отражения - заметно не меняется. Экспериментально оценена толщина разупорядоченных слоев l_s кремния после высокодозной бомбардировки ионами Ar^+ которая при $E_0=1$ кэВ составляла $l_s \approx 100-120 \text{ \AA}$, при $E_0=2$ кэВ - $\approx 150-160 \text{ \AA}$. При этом значение E_g увеличивается всего лишь на 0,1 эВ, а плотность состояния электронов валентной зоны резко изменяется.

2. Получены пленки $NiSi_2/Si(111)$ методом напыления Ni на Si с последующим прогревом до $T \approx 850-900 \text{ K}$ в течение 40 мин. Установлено, что в интервале толщины никеля $h_{Ni} \approx 20-60 \text{ \AA}$ формируется островковая пленка $NiSi_2$ а в интервале $h_{Ni}=80-200 \text{ \AA}$ – сплошная эпитаксиальная пленка $NiSi_2$. Шероховатость поверхности пленок составляла 7-8 нм.

3. Ширина запрещенной зоны островковой и сплошной пленки $NiSi_2$ мало отличаются друг от друга и составляет 0,58-0,6 эВ, а их удельные сопротивления отличались от 100 до 1000 раз. На спектре фотоэлектронов островковой пленки обнаружилось особенности характерные как для Si, так и $NiSi_2$.

4. Имплантацией ионов Ni^+ с $E_0=1-5$ кэВ в сочетании с прогревом на поверхности Si получены нанокристаллические фазы и пленки $NiSi_2$ толщиной от 25-30 \AA до 50-60 \AA . Впервые показано, что кристаллографическая ориентация и постоянная решетки нанопленки $NiSi_2$ полностью совпадают с таковыми подложки Si(111).

5. Впервые изучены электронная структура, оптические и эмиссионные свойства, параметры энергетических зон нанофаз и нанопленок $NiSi_2$. Показано, что плотность состояний валентных электронов $NiSi_2$ образуется в основном гибридизацией $3d_{5/2}$ и $3d_{3/2}$ состояний Ni с 3p- и 3s- состояниями Si. Выявлены основные механизмы формирования тонкой структуры на спектре фотоэлектронов $NiSi_2$. Построена зонно - энергетическая диаграмма системы $NiSi_2/Si(111)$.

6. Установлено, что послеростовой отжиг ТФЭ системы $NiSi_2/Si(111)$, сначала приводит к появлению в пленке $NiSi_2$ различных микроотверстий (в интервале $T=1000-1100 \text{ K}$), затем к появлению островков (1150-1300 K). При $T=1200 \text{ K}$ средние размеры островков $NiSi_2$ уменьшаются до 20-25 нм и значение E_g увеличивается до 0,78 эВ, т.е. начинают проявляться квантово-размерные эффекты.

7. Показано, что трехслойная наногетероструктура $Si/NiSi_2/Si(111)$, полученная методом ТФЭ, выдерживает отжиг до $T \approx 1000 \text{ K}$. При $T \approx 1100 \text{ K}$ формируется островковая пленка Si, что объясняется изменениями происходящими в пленке $NiSi_2$ (формирования отверстий, островков).

8. Впервые методом ионной имплантации в сочетании с отжигом получены скрытые нанофазы и слои $NiSi_2$ в Si и изучены их состав,

структура, электронные и оптические свойства. Показано, что в случае наночастиц NiSi_2 квантово-размерные эффекты проявляются при $d \leq 20\text{-}25$ нм.

9. Разработана методика получения четырехслойных наногетероструктур $\text{NiSi}_2/\text{Si}/\text{NiSi}_2/\text{Si}(111)$. Определены зонно-энергетические параметры каждого слоя системы.

10. Даны научно-обоснованные рекомендации по применению полученных результатов в создании транзисторов с проницаемой базой и в создании омических контактов в нанослойных структурах.

**SCIENTIFIC COUNCIL ON AWARDING OF SCIENTIFIC DEGREES
PhD.03/31.03.2021.FM.70.06 OF KARSHI STATE UNIVERSITY**

KARSHI STATE UNIVERSITY

MUSTAFOEVA NODIRA

**STRUCTURE AND ELECTRONIC PROPERTIES OF SILICIDE
NANOFILMS OBTAINED BY HIGH VACUUM DEPOSITION AND ION
IMPLANTATION**

01.04.04 – Physical electronics

**ABSTRACT OF DISSERTATION OF THE DOCTOR OF PHILOSOPHY (PhD)
ON PHYSICAL AND MATHEMATICAL SCIENCES**

Karshi – 2022

The subject of doctor of philosophy dissertation is registered at the Supreme Attestation Commission at the Cabinet of Ministers of the Republic of Uzbekistan under number B2020.2.PhD/FM506.

Dissertation has been prepared at Karshi State University and Tashkent State Technical University named after Islam Karimov.

The abstract of the dissertation in three languages (Uzbek, Russian, English (rasume)) has been posted on the website of the Scientific Council (www.qarshidu.uz) and on Information-education portal «ZiyoNet» (www.ziynet.uz).

Scientific consultant:

Tashatov Allanazar Karshiyevich

doctor of physical and mathematical sciences, professor

Official opponents:

Turaev Ergash Yuldoshevich

doctor of physical and mathematical sciences, professor

Bekpulatov Ilhom Rustam o'g'li

candidate of physical and mathematical sciences, PhD.,
associate professor

Leading organization:

**Institute ion – plasma and laser technology named after
U.A. Arifov**

The defense will take place on «__» _____ 2022 at _____ at the meeting of scientific council number PhD.03/31.03.2021.FM.70.06 for the award of academic degrees at Karshi State University (Address: 180119, Uzbekistan, Karshi, 17 Kuchabag Street. Phone/fax: (99875) 225–34–13, e-mail: kardu@mail.ru).

The doctoral dissertation is possible to review in Information-resource centre at Karshi state university (is registered № _____) (Address: 180119, Uzbekistan, Karshi, 17 Kuchabag Street. Phone/fax: (+99875) 225-34-13, e-mail: kardu@mail.ru).

The Abstract of the dissertation sent out on «__» _____ 2022.
(Mailing report №__ on «__» _____ 2022).

Normuradov M.T.

Chairman of Scientific Council on award of scientific degrees, doctor of physical and mathematical sciences,
professor

Allayarova G.X.

Scientific secretary of scientific council on award of scientific degrees, candidate of physical and mathematical sciences, PhD

Donaev S.B.

Chairman of scientific seminar under scientific council on award of scientific degrees, doctor of sciences, docent



INTRODUCTION (abstract of PhD thesis)

Heterostructures from MeSi_2/Si nanoparticles formed on the Si surface using popular technology, microwave transistors and integrated circuits, radiation detectors, optoelectronic devices, thin ohmic contacts and barrier (barrier) MIS, the creation of SIS structures creates new opportunities for achieving promising results in field of physical electronics.

The aim of the research work study of the physical regularities of the formation of nanoscale phases and layers of NiSi_2 on the surface and in the near-surface region of Si during solid-phase deposition and ion bombardment, study of their composition, electronic and crystal structure, emission and optical properties.

The objects of research work are single-crystal films and samples of Si, nanophases and nanolayers of NiSi_2 .

Scientific novelty of the research work:

the main reasons for the change in the optical parameters of single-crystal Si during the disordering of the surface by bombardment with Ar + ions have been established

it was shown that during SPE growth of a NiSi_2 film to a thickness of 180-250 Å, island growth is observed, while at Å continuous films are formed. The surface morphology, composition, electronic and crystal structure of TFE $\text{NiSi}_2 / \text{Si}$ (111) films have been studied for the first time

the regularities of changes in the morphology, composition and electronic structure of $\text{NiSi}_2 / \text{Si}$ (111) films during heating in the range of $T \approx 1000-1400$ K have been studied. The sizes of nanophases at which quantum-size effects begin to manifest themselves have been determined.

for the first time obtained and studied the composition, crystal and electronic structures of hidden nanophases and nanolayers of NiSi_2 at various depths of Si (111). A relationship has been established between changes in the size and width of the band gap of the hidden nanocrystalline phases of NiSi_2 .

the processes of formation of four-layer epitaxial nanolayer systems $\text{NiSi}_2/\text{Si}/\text{NiSi}_2/\text{Si}$ (111) during the implantation of Ni ions in Si with subsequent annealing have been studied.

Implementation of the research results. At the Institute of Ion-Plasma and Laser Technologies of the Academy of Sciences of the Republic of Uzbekistan on the basis of the State Scientific and Technical Program Isakhanov Z.A. № OT - F3-13 "Investigation of the mechanisms of formation of multilayer nanofilm structures that do not contain silicon-silicon-metal, their electronic and crystal structures", implemented in 2017-2020.

experimental setup for ultrahigh vacuum, designed to study changes in the composition, structure and surface defects of single-crystal samples during heat treatment, deposition and ion bombardment. On the basis of the developed technological process, indicated in the scientific work, in OAJ "FOTON" samples were made, as a result of which high-sensitivity photosensitive sensors based on silicon doped with nickel-containing atoms were created. At the same time, a method for producing thin silicon layers was considered.

The results of scientific work are at the level of samples of sensors produced in the world, and their electrophysical parameters correspond to international standards.

Structure and volume of dissertation. Dissertation consists of introduction, four chapters, conclusion and a list of references. The text of the thesis is presented on 125 pages of typewritten text, including 59 figures and 4 tables.

ЭЪЛОН ҚИЛИНГАН ИШЛАР РЎЙХАТИ
СПИСОК ОПУБЛИКОВАННЫХ РАБОТ
LIST OF PUBLISHED SCINTIFIC WORKS

1-бўлим (1-часть, part 1)

1. B.E.Umirzakov, D.A.Tashmukhamedova, A.K.Tashatov, N.M. Mustafоеva, D.M. Muradkabilov. Effect of the Disordering of Thin Surface Layers on the Electronic and Optical Properties of Si(111) // Semiconductors, 54(11). 2020. с. 1424-1429 (№3 Scopus: IF=0,67)
2. A.K.Tashatov, N.M.Mustafоеva. Surface Morphology of NiSi₂/Si Films Obtained by the Method of Solid-Phase Deposition // Journal of Surface Investigation: X-ray, Synchrotron and Neutron Techniques, Vol.14, No 1. 2020. pp. 81-84 (№3 Scopus: IF=0,36)
3. A.K.Tashatov, N.M.Mustafоеva, B.E.Umirzakov D.A.Tashmuxamedova. Electronic and Optical Properties of NiSi₂/Si Nanofilms // Technical Phusics, Vol.64, Issue 5 (2019), pp. 708-710 (№3 Scopus: IF=0,603)
4. А.К. Ташатов, Н.М. Мустафоева. Морфология, состав и структура поверхности пленок NiSi₂/Si полученных методом твердофазной эпитаксии // Узбекский физический журнал. – Тошкент, 2021. – №2. – Б.55-60. (01.00.00. №5)
5. А.К. Ташатов, Н.М. Мустафоева. Гетероструктуры Si/NiSi₂/Si полученных методом твердофазного осаждения // ҚарДУ хабарлари. – Қарши, 2021.– №4. – Б. 23-26. (01.00.00. ОАК Раёсатининг 2021 йил 31 мартдаги 295/6-сон қарори)

II- бўлим (II-часть, part II)

6. А.К.Ташатов, Н.М. Мустафоева. Морфология поверхности пленок NiSi₂/Si полученных методом твердофазной эпитаксии // Тенденции развития современной физики полупроводников: проблемы, достижения и перспективы; Сборник материалов международной онлайн конференции (www.e-science.uz); Ташкент. 2020. с.92-97
7. А.К. Ташатов, Н.М.Мустафоева. Формирование структуры пленок силицидов металлов исследование структуры поверхности нанопленок NiSi₂/Si // ҚарДУ хабарлари, № 3, Қарши 2017. с.16-19
8. А.К. Ташатов, Н.М. Мустафоева, Р.Р. Худаяров, А.Р. Турсунов. Влияние разупорядочения тонких поверхностных слоев на оптические свойства кремния // Министерство науки и высшего образования российской федерации национальный исследовательский ядерный университет “МИФИ” VII международная конференция “Лазерные,плазменные исследования и технологии” ЛАПЛАЗ. Москва, 2021. с.325-326
9. А.К. Ташатов, Н.М. Мустафоева. Исследование физические и оптические свойства нанопленок NiSi₂/Si // Министерство науки и высшего образования российской федерации национальный исследовательский ядерный университет “МИФИ” VII международная конференция

“Лазерные, плазменные исследования и технологии” ЛаПЛАЗ. Москва, 2021. с.333-334

10. А.К. Ташатов А.К, Б.Е. Умирзаков, Н.М. Мустафоева. Морфология поверхности пленок NiSi_2/Si (111) полученные методами эпитаксии // XLVII международной Тулиновской конференции по физике взаимодействия заряженных частиц с кристаллами, Москва-2017. с.141

11. А.К. Ташатов А.К, Н.М. Мустафоева, Ш.Х. Джураев. Морфология поверхности $\text{NiSi}_2/\text{Si}_2$ полученных методом твердофазного осаждения // Республиканская конф.(с участием ученых стран СНГ) «Современные проблемы физики полупроводников» СПФП-2019, Нукус 2019 г. с.184-187

12. А.К. Ташатов, Б.Е. Умирзаков, Н.М. Мустафоева. Изучение морфология поверхности с использованные методов РЭМ и АСМ // Министерство науки и высшего образования российской федерации национальный исследовательский ядерный университет “МИФИ” VI международная конференция “Лазерные,плазменные исследования и технологии ЛаПЛАЗ-2020 ” Москва. 2020. с. 92-93

13. А.К. Ташатов, Б.Е. Умирзаков, Н.М. Мустафоева. Изучение морфологии поверхности пленок NiSi_2/Si используемых в приборах солнечной энергетики // Фотоэнергетикада наноструктурали яримўтказгич материаллар, Халқаро илмий анжумани, 9-10 октябр, Тошкент-2020. с.315-317

14. А.К. Ташатов, Н.М. Мустафоева. Исследование электронно-оптические свойства нанопленок NiSi_2/Si // Фотоэнергетикада наноструктурали яримўтказгич материаллар, Халқаро илмий анжумани, 9-10 октябр, Тошкент-2020. с.320-321

15. А.К.Ташатов, Н.М.Мустафоева, Б.Е.Умирзаков, Д.А.Ташмухамедова. Определение параметров энергетических зон и постоянных решеток силицидов металлов // XXIII Международной конференция Взаимодействие ионов с поверхностью “ВИП-2017”, Москва-2017. с.147-149

16. А.К. Ташатов, Н.М. Мустафоева, Л.Х. Азизова. Исследование влияние ионной имплантации на состав, структуру и оптические свойства кремния // Мирзо Улуғбек номидаги Ўзбекистон миллий университети. Физика фанининг ривожиди истеъдодли ёшларнинг ўрни. Тошкент. РИАК-ХIV-2021. с.192-196

17. А.К. Ташатов, Н.М. Мустафоева, Д.А. Ташмухамедова, М.Т. Нормуродов, А.А. Абдуваитов. Получение многомлойной наносистемы $\text{Si}/\text{NiSi}_2/\text{Si}$ (111) // XLIX международной Тулиновской конференции по физике взаимодействия заряженных частиц с кристаллами, Москва 2019 с.38

18. А.К. Ташатов, Н.М. Мустафоева. Изучения состава, морфологии и электронной структуры нанопленок NiSi_2 , полученных на поверхности Si (111) с использованием метода твердофазного осаждения //“Роль физики в современном образовании” Материалы республиканской научно-практической конференции. Самарканд-2019. с. 242-243

19. А.К. Ташатов, Н.М. Мустафоева, Д.М. Исроилов, И.Ш. Тошпулатов. Электронные свойства наноразмерных структур MeSi , созданных в приповерхностном слое Si //Материалы республиканской научно-практической конференции с участием зарубежных ученых. «Инновационные технологии в науке и образовании» I Том. Нукус-2018. с. 99-103

20. А.К. Ташатов, Н.М. Мустафоева. Морфология, состав и структура поверхности пленок NiSi_2/Si , полученных методом твердофазной эпитаксии // Международной научно-практической интернет-конференции «Тенденции и перспективы развития науки и образования в условиях глобализации» 31 августа 2021 г. Вып. 74. Переяслав – 2021. с.110-113

21. А.К. Ташатов, Н.М. Мустафоева, Д. Хакимова, А.М. Санакулова. Изучение состава, морфологии и электронной структуры нанопленок NiSi_2 , полученных на поверхности Si(111) //«Энерго- и ресурсосбережение: новые исследования, технологии и инновационные подходы» Сборник трудов международной конференции. Карши 24 – 25 сентября 2021 г. с.400-403

22. Б.Е. Умирзаков, А.К. Ташатов, Н.М. Мустафоева. Влияние разупорядочения тонких поверхностных слоев на коэффициент поглощения света Si (111) // I- Международная конференция «фундаментальные и прикладные проблемы физики полупроводников, микро- и нанoeлектроники» республика Узбекистан, Ташкент 28-29 октября 2021 г. с.68-70.

Автореферат Қарши Давлат Университетининг «ҚарДУ хабарлари» илмий-назарий, услубий журнали таҳририясида таҳрирдан ўтказилди. (27.01.2022 йил)

Гувоҳнома №16-1700

Босишга рухсат этилди: 27.01.2022 йил.

Бичими 60x84 ¹/₁₆, «Times New Roman»

гарнитурада рақамли босма усулида босилди.

Шартли босма табағи 2,9 Адади: 100. Буюртма: №60

Ўзбекистон Республикаси Қашқадарё вилояти Қарши шаҳри
И.Каримов ва А.Темур кўчалари чорраҳаси.

«Азизбек Офсет Барака» МЧЖ